

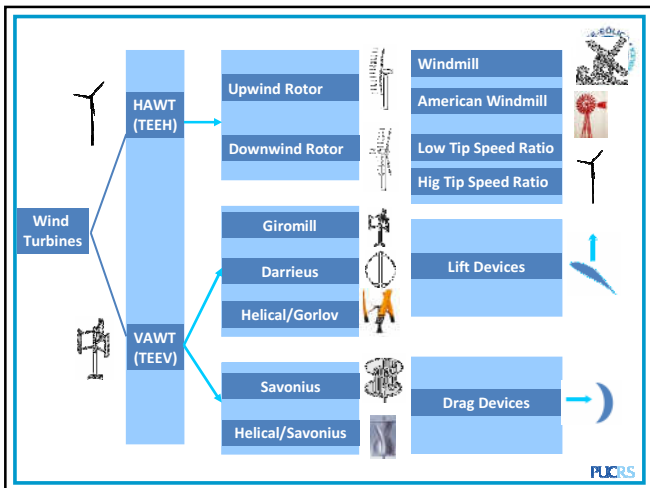
TURBINAS EÓLICAS DE EIXO VERTICAL

SMALL WIND TURBINES WORKSHOP

07 NOVEMBRO 2012
PUCRS | FACIN AUDITÓRIO 516
PORTO ALEGRE/RS | BRASIL

Prof. Jorge A. Villar Alé

CONCEITOS BÁSICOS PRELIMINARES



(1000 A.C. - 1300 D.C.) **(1300 - 1875 D.C.)** **USA (XIX)** **USA Início XX (1920)**

Estados Unidos 1888 - Charles Brush
Diâmetro: 17m
Potência: 12kW

Dinamarca (1891) Poul la Cour.
D=23m
Pot=18 kW

USA: (1941) Palmer Putman
1450 kW
D=53m

| Denominação | Tamanho |
|---------------------------|----------------|
| Micro-Turbinas | < 1,0 kW |
| Turbinas de pequeno porte | 1 a 50 kW |
| Turbinas de médio porte | 50 kW a 500 kW |
| Turbinas de grande porte | 1MW a 4MW |

IEC-NORM 61400-2:2006
IEC < 200 m2 (Aprox. D=16m) < (50 a 60 kW)

| Aerogeradores | Potencia (kW) | Diâmetro (m) | Altura (m) |
|----------------|---------------|--------------|------------|
| Micro-Turbinas | 1 | 2,5 | 10 |
| Pequeno | 50 | 15 | 25 |
| Médio | 300 | 31 | 40 |
| Grande | 3000 | 100 | 100 |

Potência = $0,5 \rho V^3 A C_p$ Watts

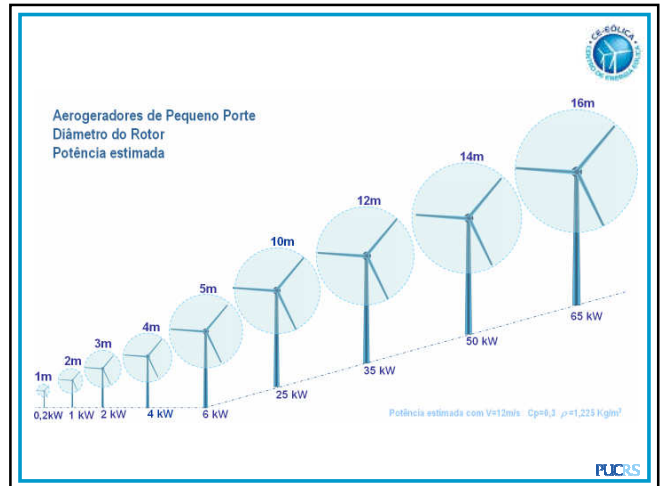
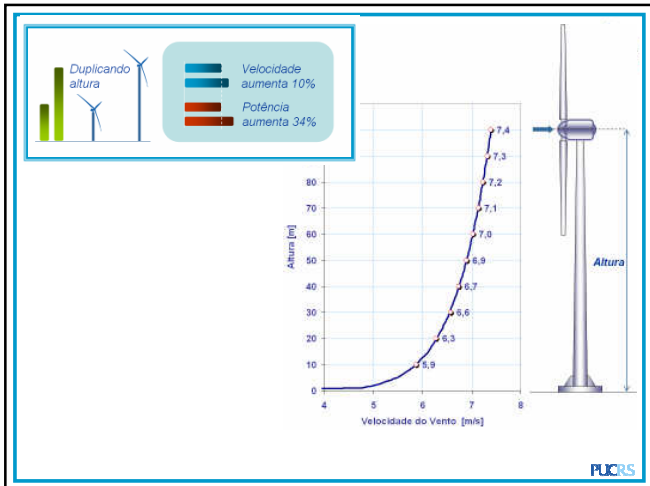
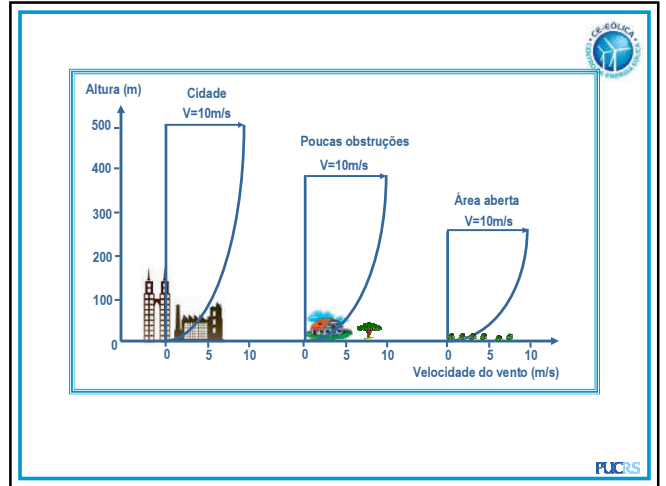
Densidade do ar Velocidade do Vento Coeficiente de potência

Área barrida

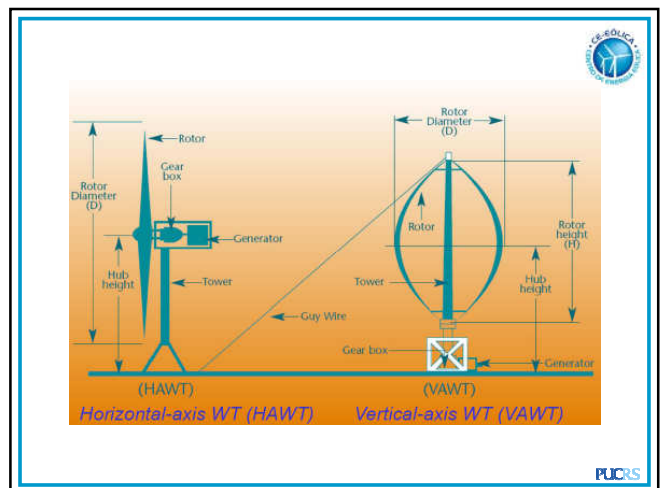
Energia do vento → 100% → Turbina → Energia Máxima Teórica → 59,3% → Limite de Betz

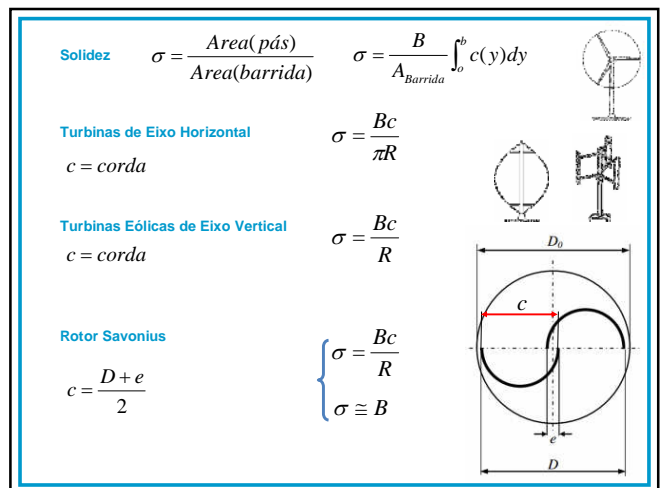
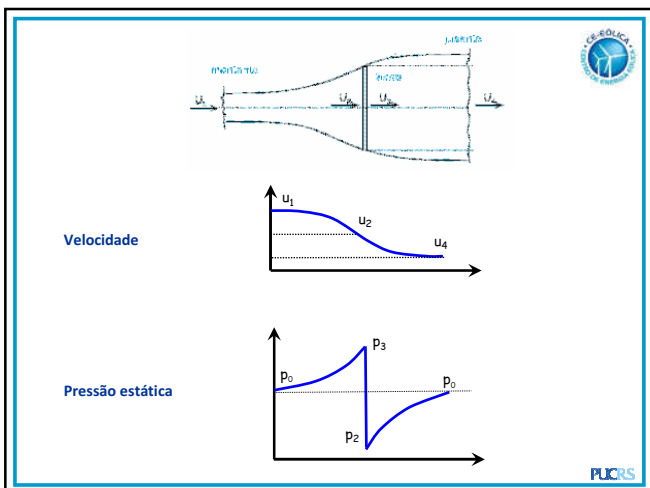
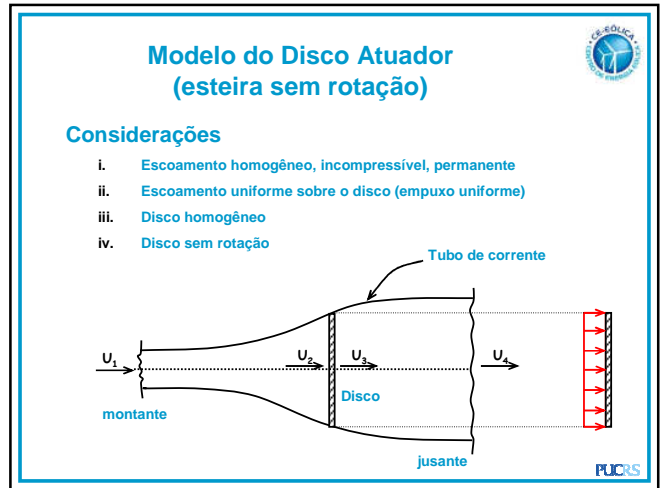
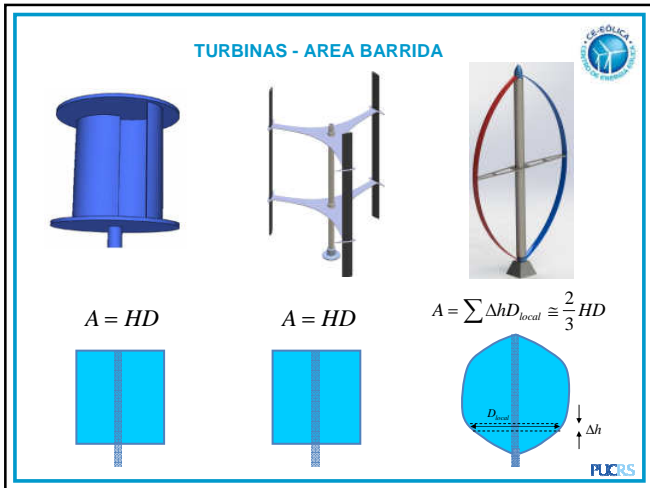
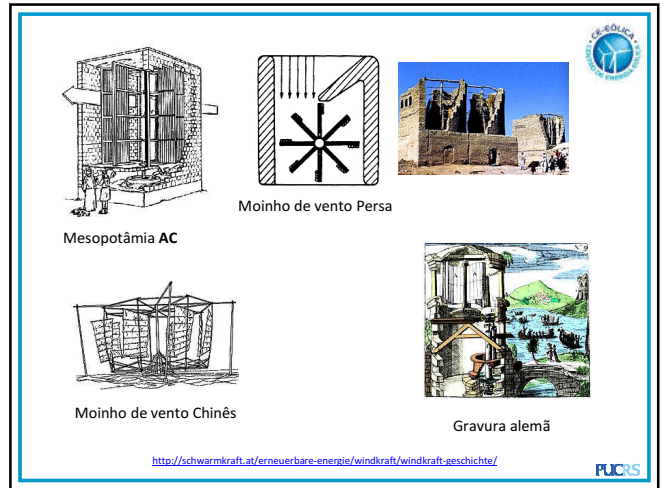
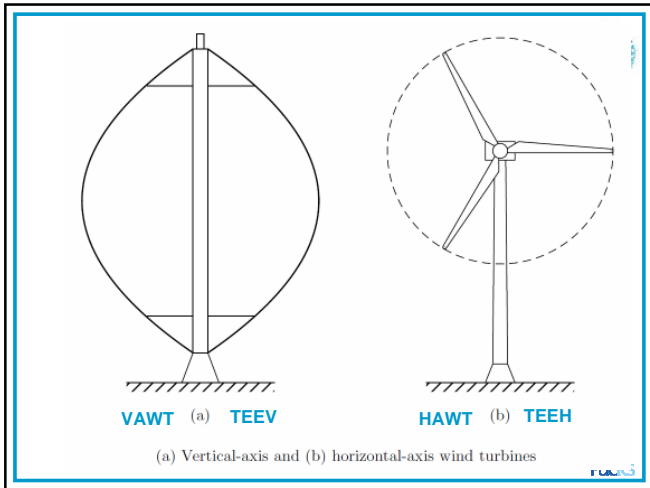
Vento 100% → Turbina → Transmissão mecânica → Gerador elétrico → 40%

Perdas Aerodinâmicas Perdas Mecânicas Perdas elétricas

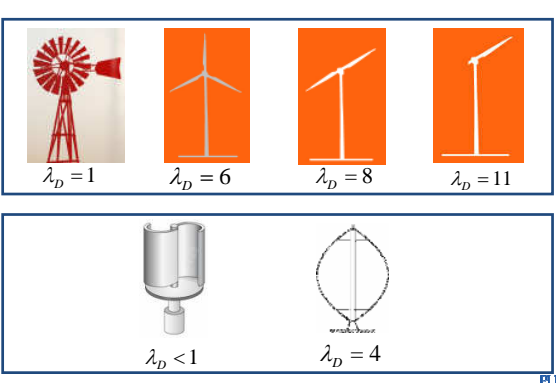


TURBINAS EÓLICAS DE EIXO VERTICAL



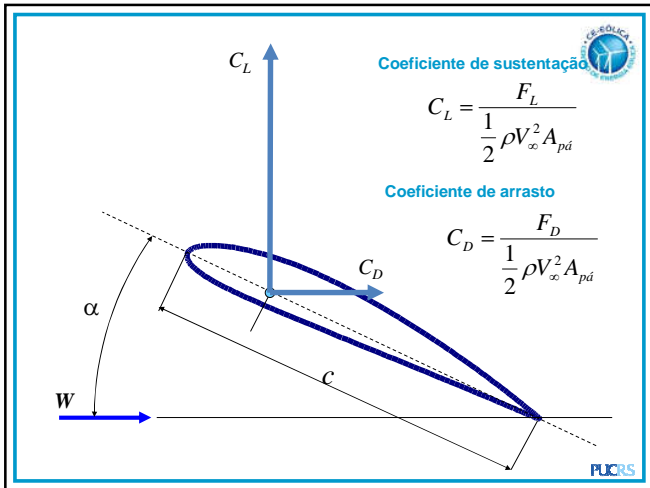
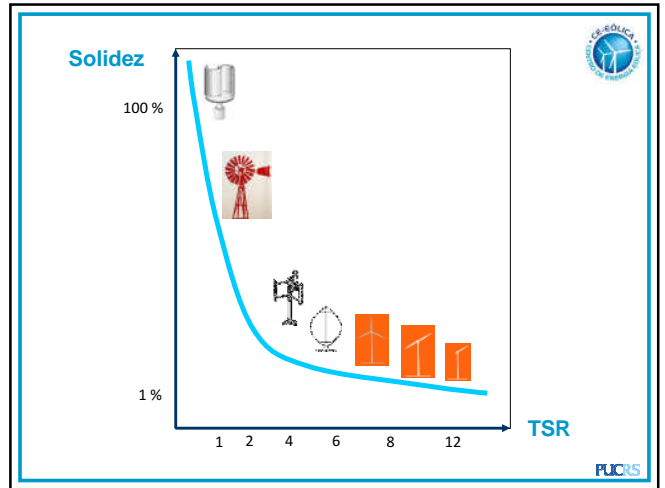


Razão de velocidade de ponta - TSR $\lambda = \frac{\omega R}{V_\infty}$



$\lambda_D = 1$ $\lambda_D = 6$ $\lambda_D = 8$ $\lambda_D = 11$

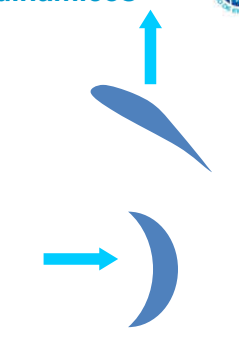
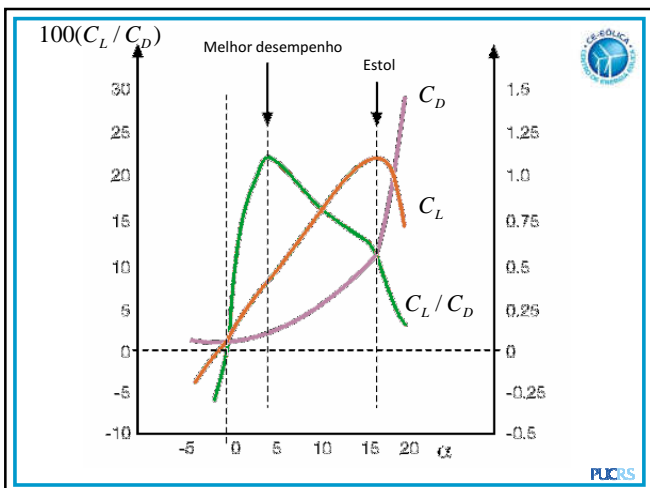
$\lambda_D < 1$ $\lambda_D = 4$



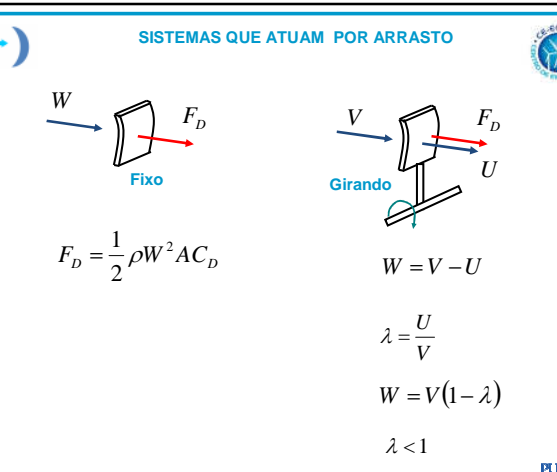
Coefficientes Aerodinâmicos

Sustentação $C_L = \frac{F_L}{\frac{1}{2} \rho V_\infty^2 A_{pd}}$

Arrasto $C_D = \frac{F_D}{\frac{1}{2} \rho V_\infty^2 A_{pd}}$

SISTEMAS QUE ATUAM POR ARRASTO



W

F_D

Fixo

V

F_D

U

Girando

$$F_D = \frac{1}{2} \rho W^2 A C_D$$

$$W = V - U$$

$$\lambda = \frac{U}{V}$$

$$W = V(1 - \lambda)$$

$$\lambda < 1$$

SISTEMAS QUE ATUAM POR SUSTENTAÇÃO

Fixo

$$F_L = \frac{1}{2} \rho W^2 A C_L$$

Girando

$$W = \sqrt{V^2 + U^2}$$

$$\lambda = \frac{U}{V}$$

$$W = V \sqrt{1 + \lambda^2}$$

$\lambda = 1$ a 15

CE-EDUCA
PUCRS

COEFICIENTES DE DESEMPENHO

Coefficiente de Potencia

$$C_p = \frac{\text{Potencia}}{\frac{1}{2} \rho V_\infty^3 A}$$

Coefficiente de Torque

$$C_Q = \frac{\text{Torque}}{\frac{1}{2} \rho V_\infty^2 A R}$$

Coefficiente de Empuxo

$$C_T = \frac{\text{Empuxo}}{\frac{1}{2} \rho V_\infty^2 A}$$

CE-EDUCA
PUCRS

Força tangencial media

$$\bar{F}_{\tan} = \frac{1}{2\pi} \int_0^{2\pi} F_{\tan} d\theta$$

Torque

$$T = B \bar{F}_{\tan} r$$

Potência

$$P = T \Omega$$

CE-EDUCA
PUCRS

Coefficiente de Potência

Robor Savonius

VAWT tipo H
Solidéz=0.2

HAWT B=3

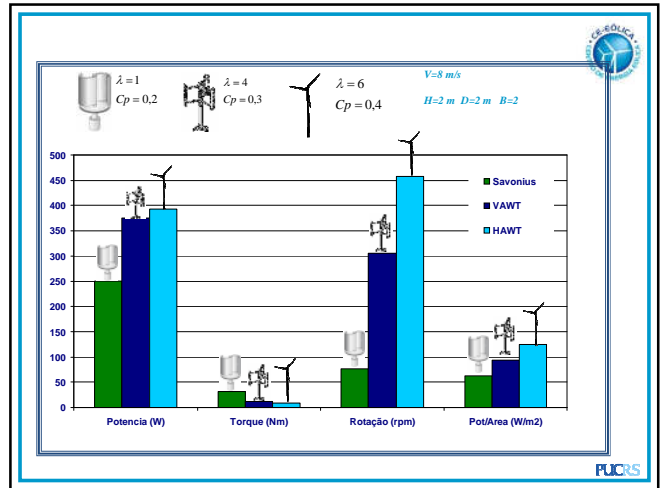
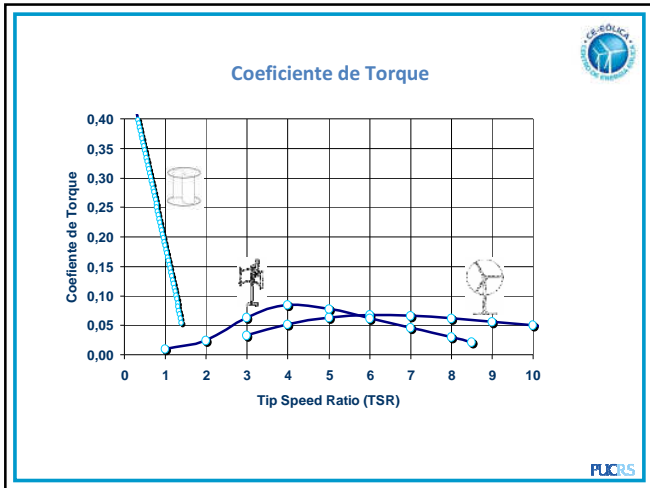
CE-EDUCA
PUCRS

Coefficiente de Torque

CE-EDUCA
PUCRS

Coefficiente de Potência

CE-EDUCA
PUCRS



SAVONIUS

- Máquina que opera por arrasto
- Alto torque de partida
- Baixo TSR
- Baixo rendimento
- Acoplamento direto (sistemas bombeamento)

TIPO H ou DARRIEUS

- Máquina que opera por sustentação
- Baixo torque de partida
- Maior TSR
- Maior rendimento
- Acoplamento direto (gerador elétrico)

FUCRS

ROTOR SAVONIUS

FUCRS

Sigurd Savonius
(1884 - 1931)

Patente
(1926)

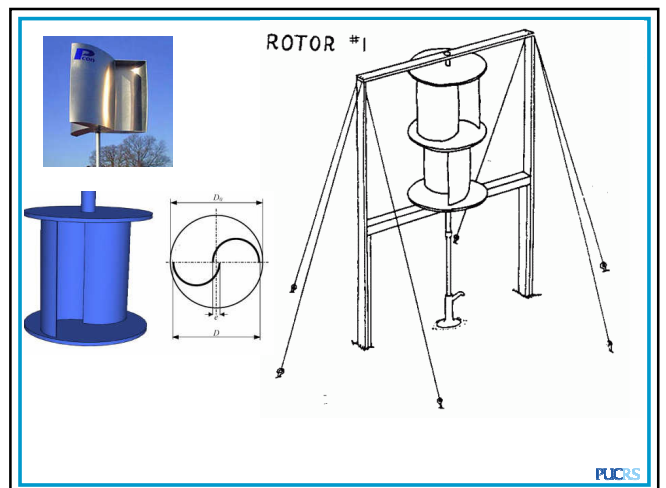
UNITED STATES PATENT OFFICE

SIGURD J. SAVONIUS, OF HELSINKI, FINLAND

WIND MOTOR

Application filed October 14, 1926; Serial No. 31,255; and in Great Britain December 14, 1925.

FUCRS



SAVONIUS ROTOR PUMPING WATER

E&MP 100.002


Power from Wind

May 13, 1931

The new S-shaped rotor invented by S. J. Savonius of Helsingfors, Finland.

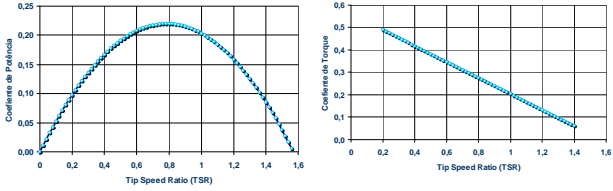
This is the most efficient means known of getting power from moving air and has been used as a ventilator.

A similar rotor can also be used as a tidal motor in which case it always turns in the same direction regardless of whether the tide is ebbing or flooding. Savonius rotor pumping water.




Original Caption by Science Service
© Mechanical Engineering
<http://sciencesevice.si.edu/pages/100002.htm>

FUCRS

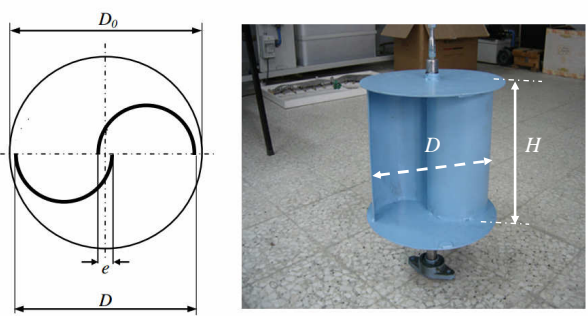


$$C_p = \frac{\text{Potencia}}{\frac{1}{2} \rho V_{\infty}^3 A}$$

$$C_Q = \frac{\text{Torque}}{\frac{1}{2} \rho V_{\infty}^2 AR}$$

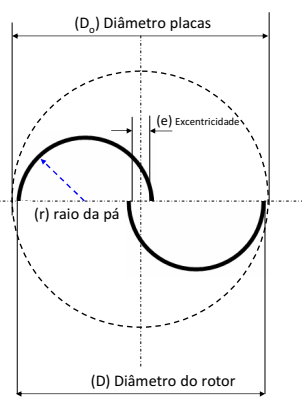
$$TSR = \frac{\text{Velocidade - Tangencial}}{\text{Velocidade - do - Vento}}$$


FUCRS

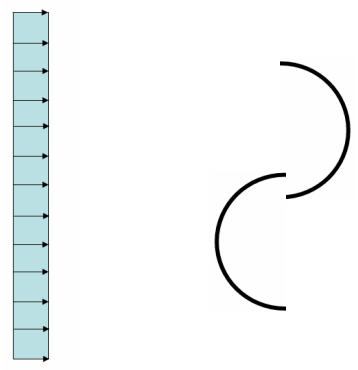


Razão de Excentricidade e/D Razão de Aspecto H/D

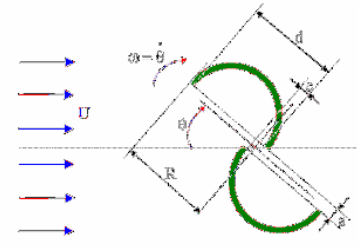
FUCRS



FUCRS



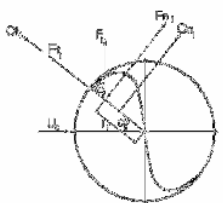
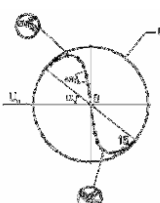
FUCRS



| Numero Módulos | Numero de Pás (B) | Raio da placas Extremas | Altura Rotor (H) | Excentricidade Principal (e) | Excentricidade secundária (a) |
|----------------|-------------------|-------------------------|------------------|------------------------------|-------------------------------|
| > 2, 3,4 ... | > 2 | 1,1 R | 4R | 0,15d a 0,3d | 0 |

HONORING BY THE SAVONIUS ROTOR EFFICIENCY TIA A PARAMETRIC INVESTIGATION
Zhen Liu, MSc, Ph.D. Student
For additional information, contact the author at: zhenliu@purdue.edu or zhenliu@me.purdue.edu
© 2012, Universidade Federal do Rio de Janeiro

FUCRS

$C_{ni} = \frac{F_{ni}}{\frac{1}{2} \rho U_0^2 R}$, $C_{ti} = \frac{F_{ti}}{\frac{1}{2} \rho U_0^2 R}$

The total drag coefficient and the torque coefficient for an individual blade at a particular rotor angle, α are evaluated by integrating the coefficients over the blade surfaces

$F_{ni} = \Delta P_i \Delta S_i \sin \phi_i$, $F_{ti} = \Delta P_i \Delta S_i \cos \phi_i$

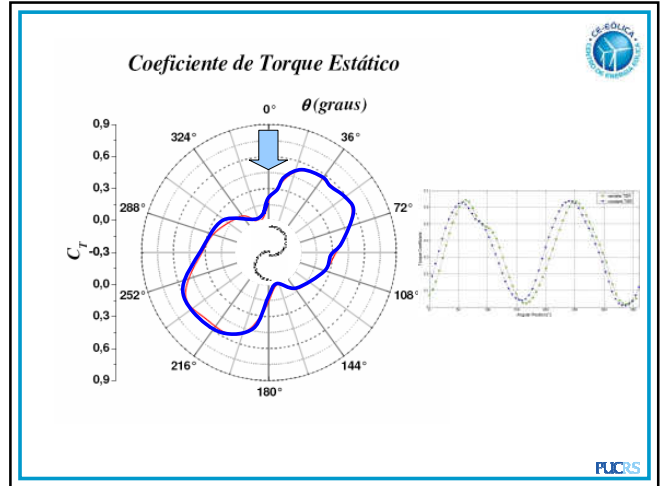
$T_i = F_{ti} r_i$, $C_{qi} = \frac{T_i}{\frac{1}{2} \rho U_0^2 R^2}$

$C_n(\alpha) = \sum_{i=1}^N C_{ni}$, $C_t(\alpha) = \sum_{i=1}^N C_{ti}$, $C_q(\alpha) = \sum_{i=1}^N C_{qi}$

EXPERIMENTAL INVESTIGATION OF AERODYNAMIC CHARACTERISTICS OF TWO, THREE AND FOUR BLADED SHARPEDED STATIONARY SAVONIUS ROTORS.

191 General Motors, 1911 Taylor Street and Warren Ave. International College on Mechanical Engineering, 1911 Warren Ave. International College on Mechanical Engineering, 1911 Warren Ave.

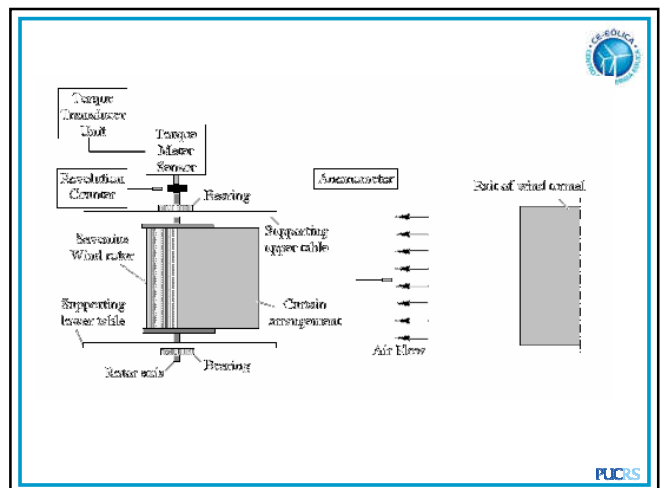
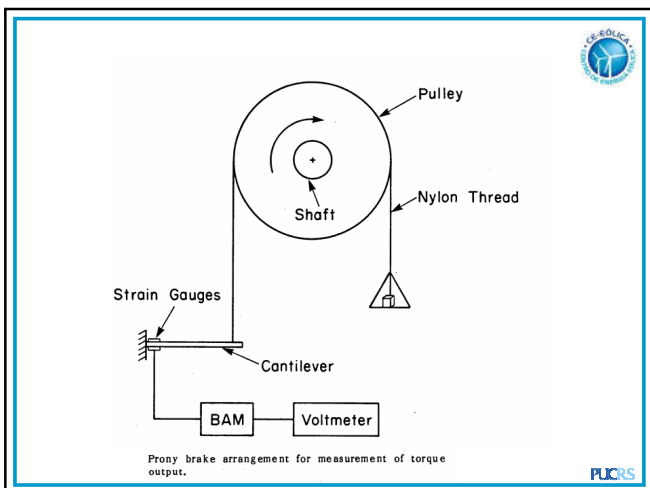
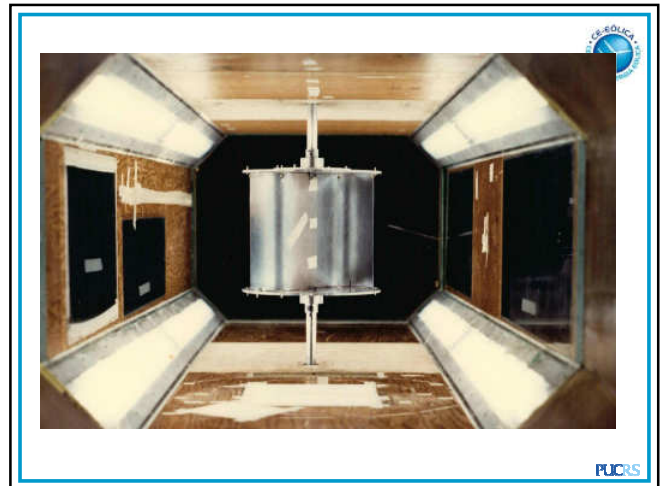
FUCRS

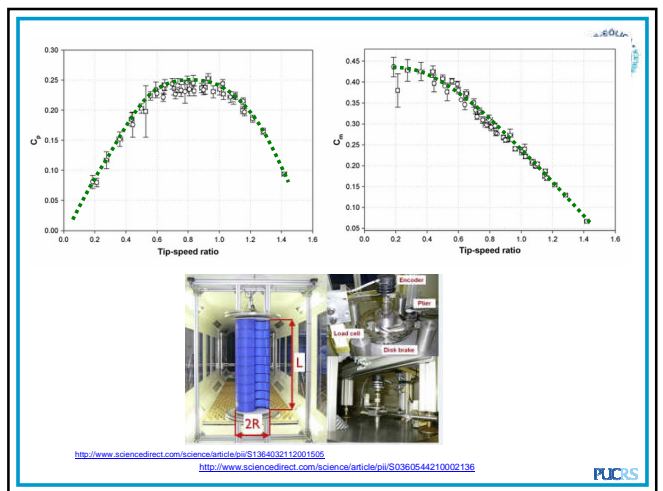
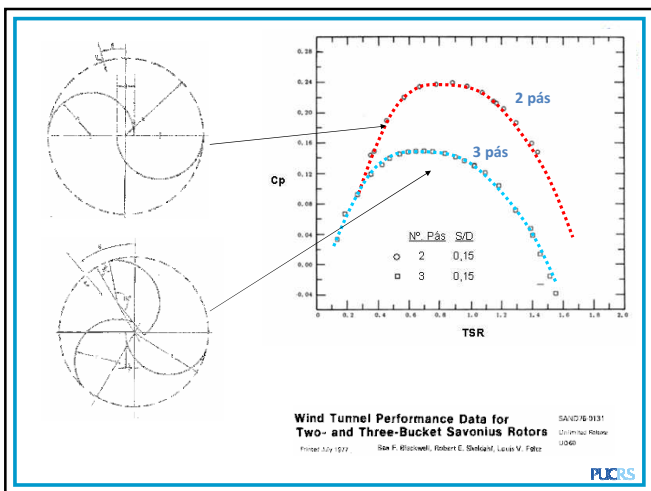
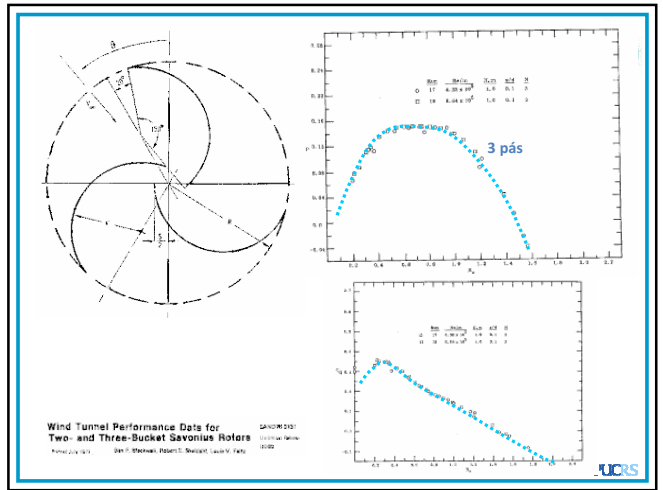
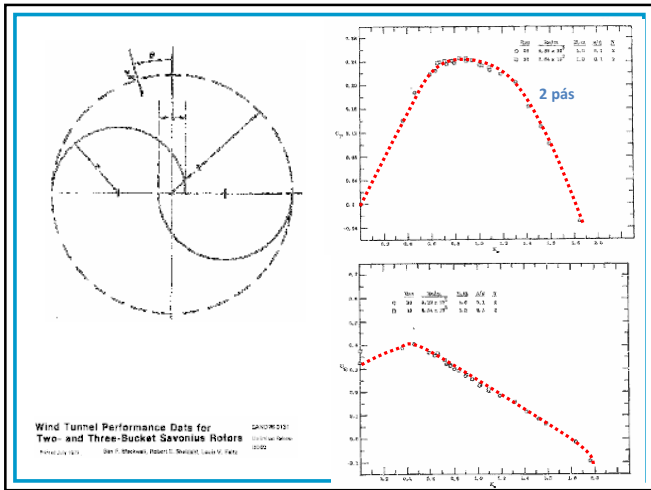
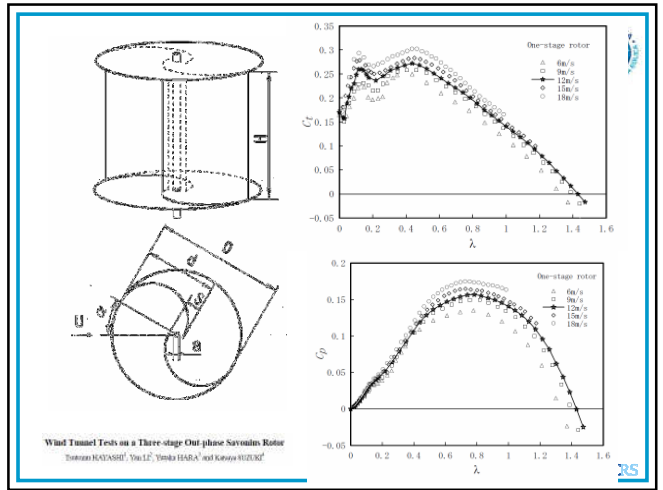
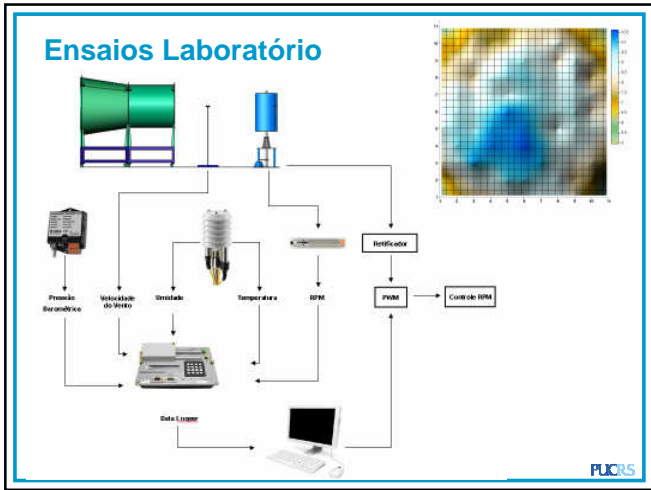


ROTOR SAVONIUS

RESULTADOS EXPERIMENTAIS

FUCRS







ROTOR SAVONIUS MODIFICADO

Experimental investigations on single stage modified Savonius rotor

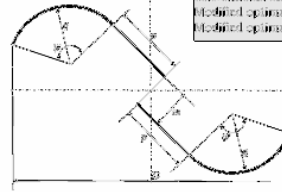
M.A. Kamraj^a, S.B. Kedare^a, S.V. Prabhu^{b,*}

^aEnergy Science and Engineering Department, Indian Institute of Technology, Bombay, Powai, Mumbai - 400075, India

^bDepartment of Mechanical Engineering, Indian Institute of Technology, Bombay, Powai, Mumbai - 400 075, India



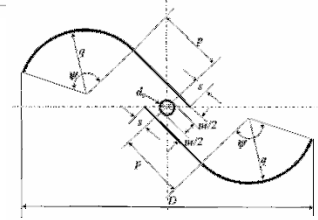
| Rotor | Re = 100,000 | |
|---|--------------|-------------------|
| | $C_{p,max}$ | TSR @ $C_{p,max}$ |
| Conventional Savonius | 0.15 | 0.77 |
| Modified optimum Savonius (width ratio) | 0.12 | 0.58 |
| Modified optimum Savonius (width ratio) | 0.18 | 0.83 |



Experimental investigations on single stage modified Savonius rotor
M.A. Kamraj^a, S.B. Kedare^a, S.V. Prabhu^{b,*}

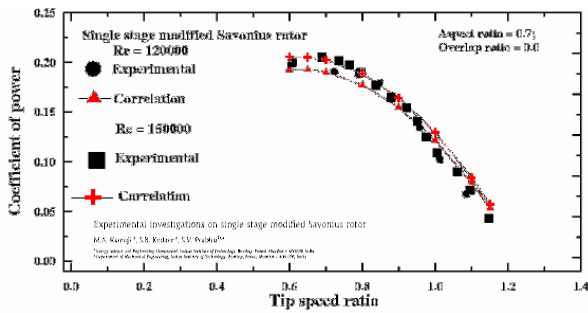
^aEnergy Science and Engineering Department, Indian Institute of Technology, Bombay, Powai, Mumbai - 400075, India

^bDepartment of Mechanical Engineering, Indian Institute of Technology, Bombay, Powai, Mumbai - 400 075, India



$$\frac{C_p}{Re^{0.3}} = -0,0107\lambda + 0,0149$$

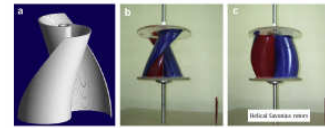
77600 ≥ Re ≤ 155000
TSR ≥ 0.6



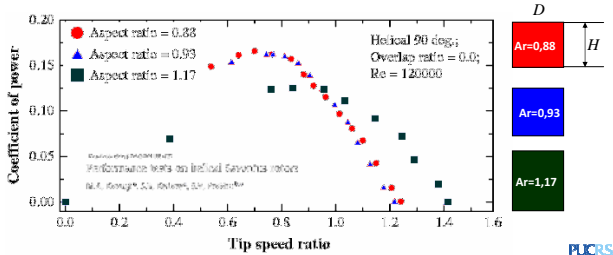
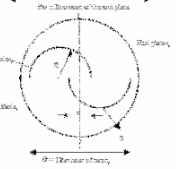
ROTOR SAVONIUS HELICOIDAL

Renewable Energy 94 (2016) 321–329
Performance tests on helical Savonius rotors

M.A. Kamraj^a, S.B. Kedare^a, S.V. Prabhu^{b,*}



Aspect ratio (H/D)
Overlap ratio (a/D)



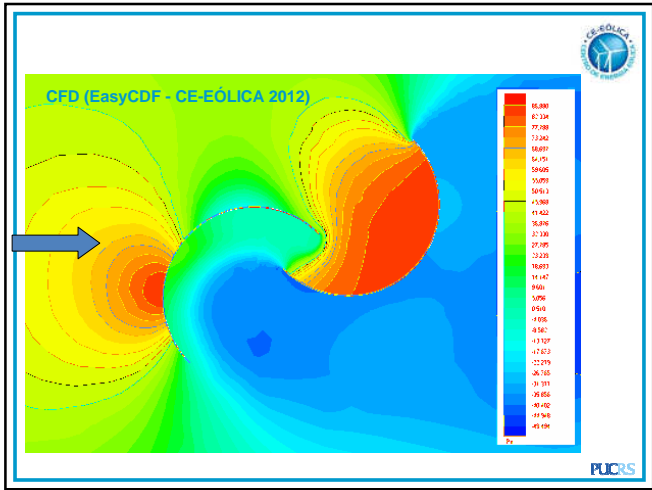
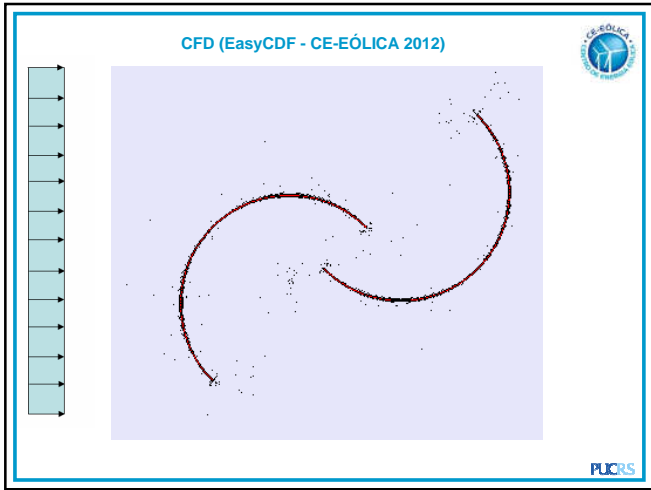
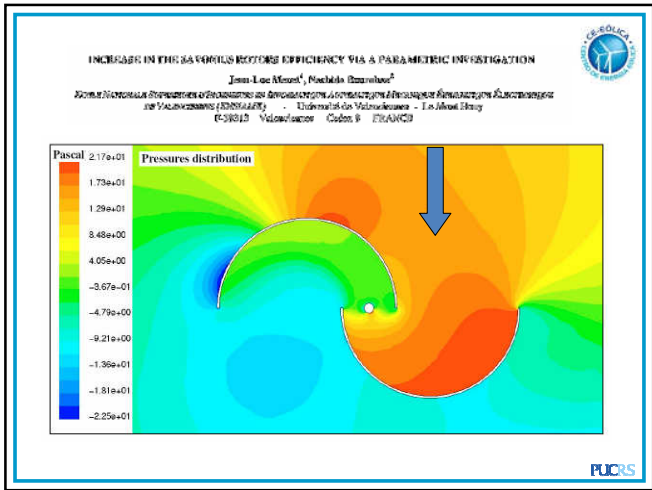
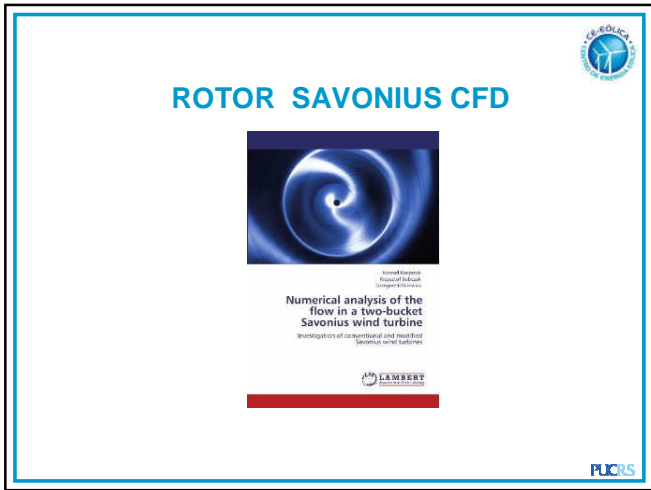
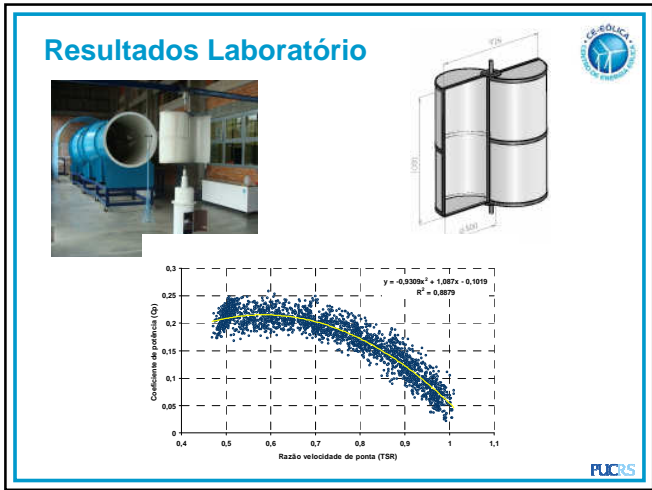
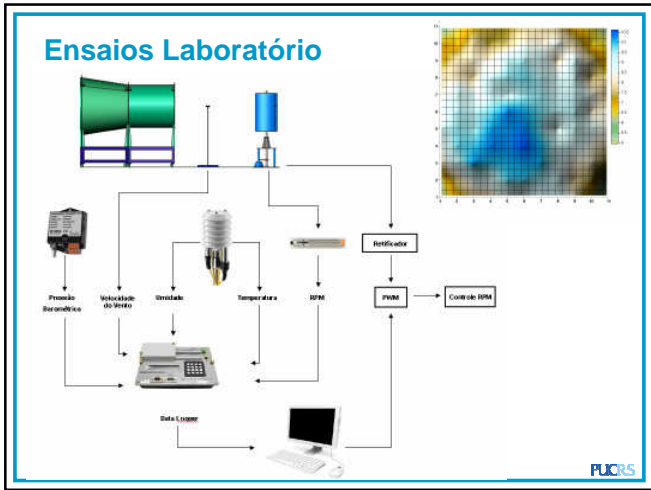
| Reynolds number | Helical Savonius; overlap ratio = 0.0; aspect ratio = 0.88 | | Helical Savonius; overlap ratio = 0.1; aspect ratio = 0.93 | | Conventional Savonius; overlap ratio = 0.15; aspect ratio = 1.0 | |
|-----------------|--|------|--|------|---|------|
| | $C_{p,max}$ | TSR | $C_{p,max}$ | TSR | $C_{p,max}$ | TSR |
| Re = 120000 | 0.17 | 0.70 | 0.12 | 0.70 | 0.17 | 0.78 |
| Re = 150000 | 0.17 | 0.65 | 0.15 | 0.77 | 0.18 | 0.76 |

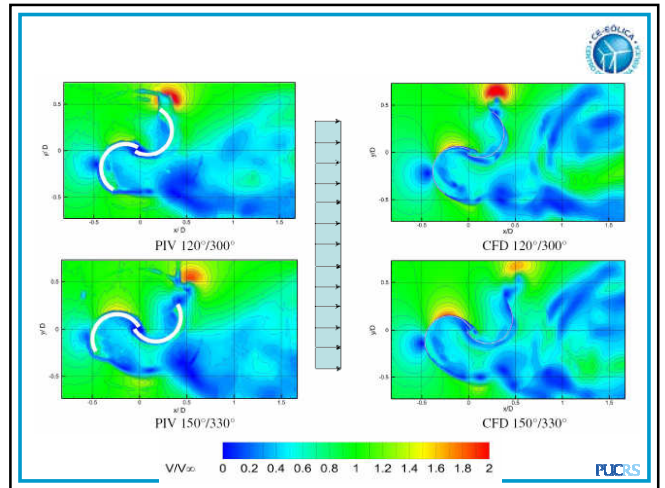
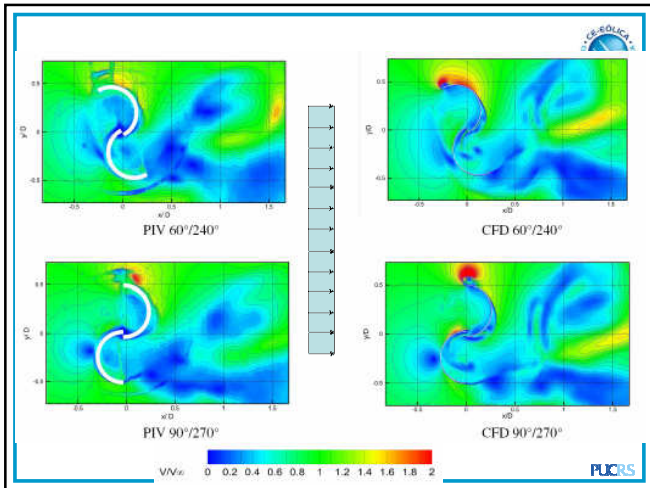
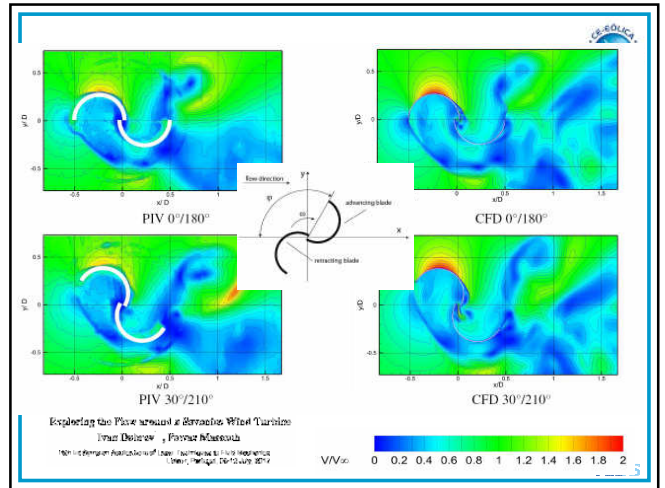
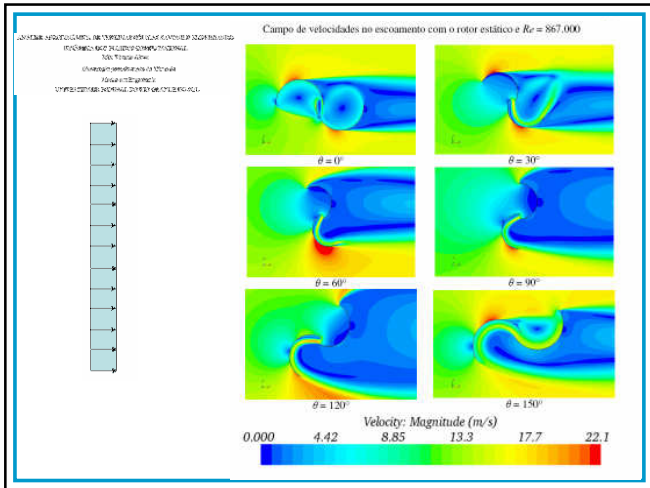
Renewable Energy 94 (2016) 321–329

Performance tests on helical Savonius rotors

M.A. Kamraj^a, S.B. Kedare^a, S.V. Prabhu^{b,*}







Geração de Eletricidade




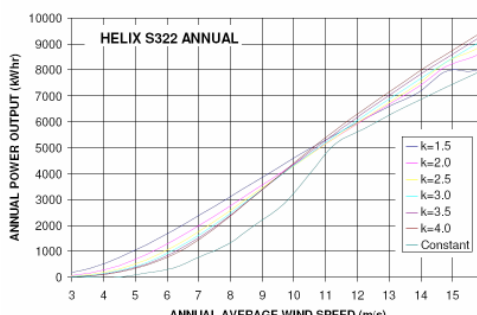

D=1,21 m
H=2,65 m

Helixwind 2 kW

http://en.wikipedia.org/wiki/File:Savonius_wind_turbine.jpg

www.helixwind.com

Generator - 2.0 kW (peak) Permanent Magnet Generator
Rotor Dimensions - D=1,21 m H=2,65 m Retail Price: \$10,500 USD ??

<http://www.helixwind.com/en/S322.php#S322>

- TURBINA DARRIEUS
- ROTOR DE PÁS RETAS
- ROTOR HELICOIDAL

Georges Darrieus (1888-1979)

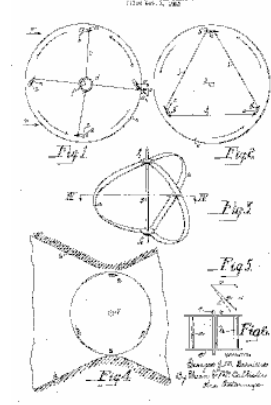
Darrieus, G.J.M.
Turbine having its rotating shaft transverse to the flow of the current. US Patent No. 1,835,018, 1931.

UNITED STATES PATENT OFFICE

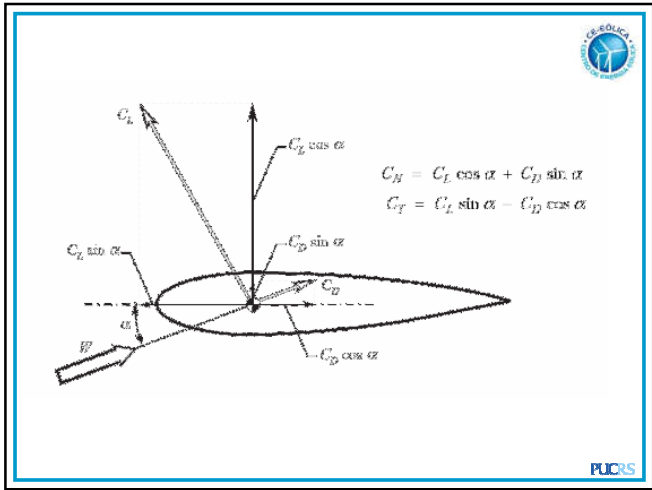
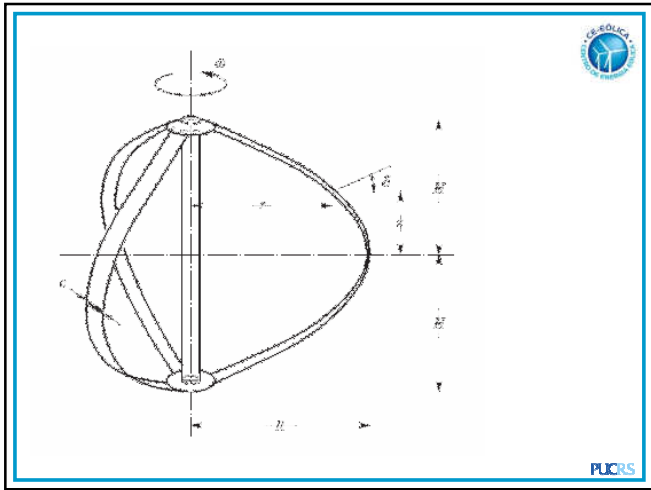
GEORGES JEAN MARIE DARRIEUS OF PARIS, FRANCE, ASSIGNOR TO SOCIETE ANONYME D'ETUDE ET D'INDUSTRIE POUR PROPRIETE AERODYNAMIQUE, OF PARIS, FRANCE

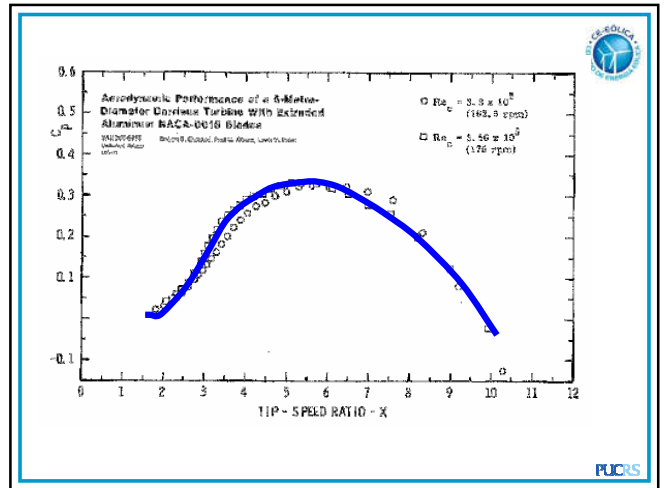
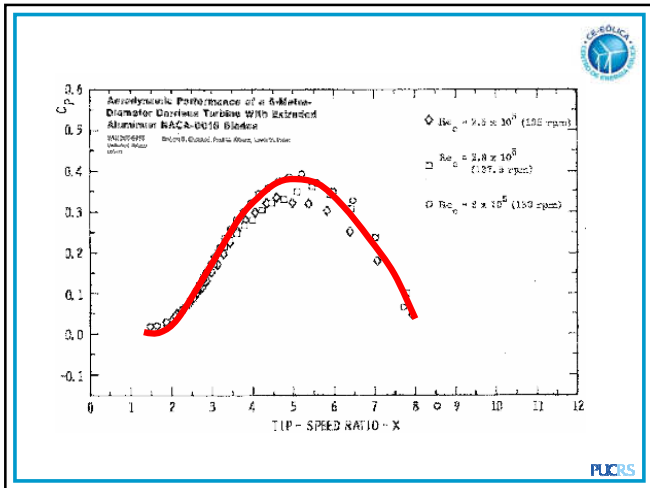
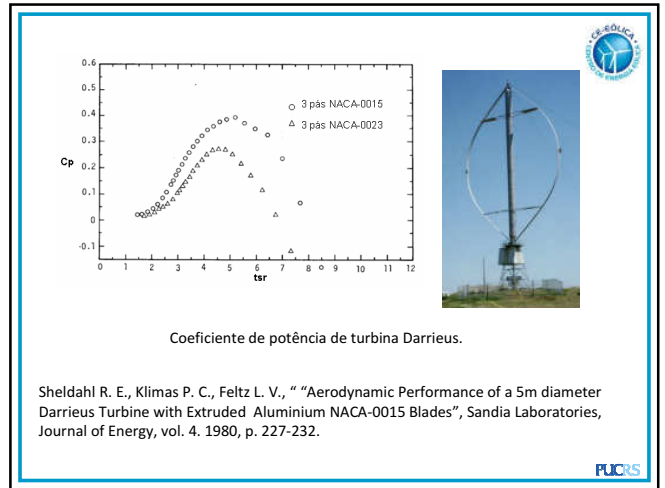
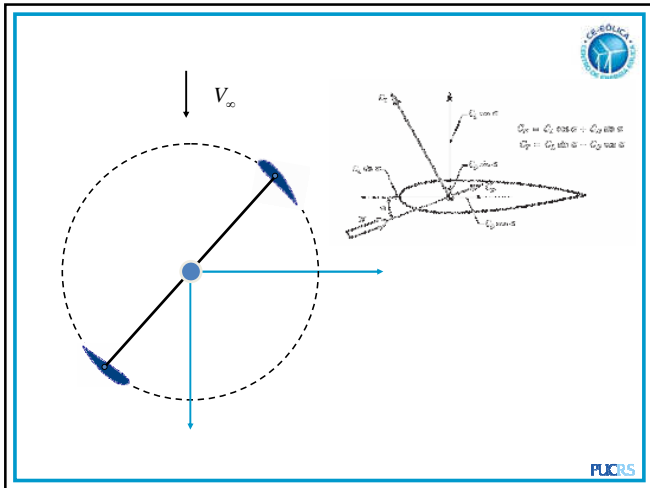
TRANSVERSE ROTARY AIR-BLASTING DEVICE TRANSVERSE TO THE FLOW OF THE CURRENT

Application Filed October 11, 1926; Serial No. 128,944; and in Great Britain 8, 1926.



Darrieus
Inventor Frances
Georges Jean Marie Darrieus
Patentes
Francia (1925)
Estados Unidos (1931)





SANDIA TESTS: 2 m, 5 m, 17 m (100 kW), 34 m (625kW)

Sandia 2-m VAWT

FloWind 19m
250 kW (20 m/s)

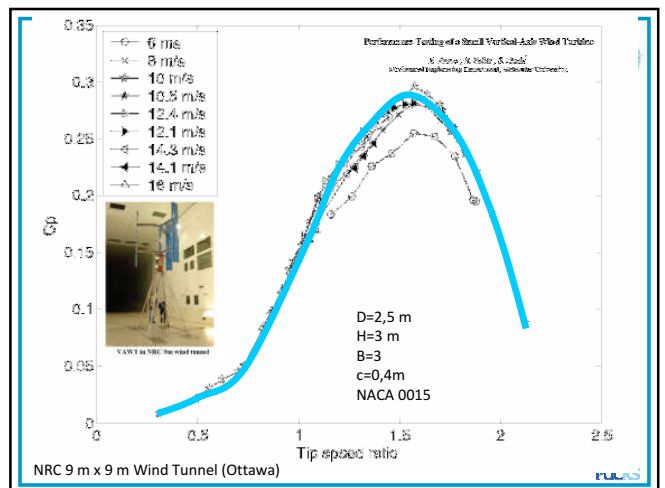
17 m (100 kW),

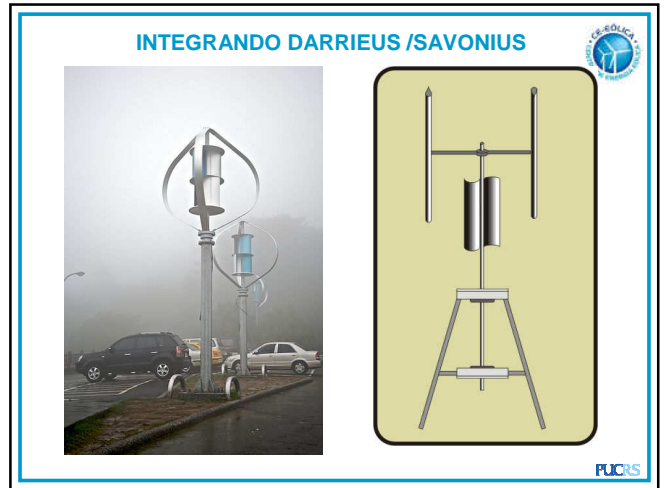
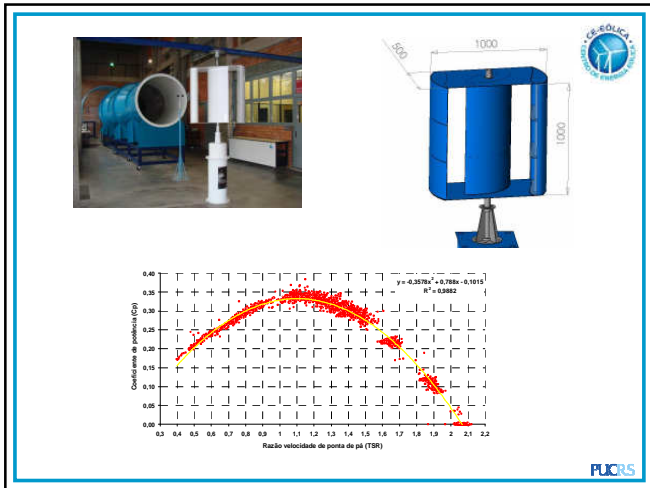
34 m (625kW)

| Item | Value |
|-----------------------|-------|
| Blade diameter (m) | 19 |
| Blade length (m) | 20,4 |
| Blade chord (m) | 0,7 |
| Blade twist (deg) | 1,2 |
| Blade pitch (deg) | 0 |
| Blade tip speed (m/s) | 20,4 |
| Blade tip speed ratio | 2,3 |

<http://www.windschange.dk/WOC-usaturb.php>

FUCRS





TURBINA GORLOV

FIG. 13
 Patente - USA 1995

FIG. 14 **FIG. 15**

His invention also won the 2001 ASME Thomas A. Edison Patent Award and was named one of Popular Science's top 100 innovations of 2001.

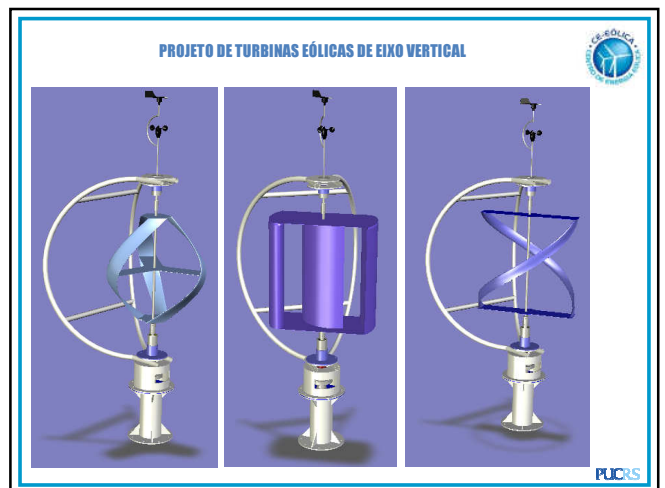
Different concepts

(a) Darrieus 1931
 (b) Gorlov 1997
 (c) Achard and Maitre 2

Profiled arm Rotation axis
 Delta shaped blade

V3 MICRO

J. Zanette, D. Imbault, A. Tourabi
 A design methodology for cross flow water turbines
 Renewable Energy Volume 35, Issue 5 2010 997 - 1009
<http://dx.doi.org/10.1016/j.renene.2009.09.014>
<http://schwamkraft.at/erneuerbare-energie/windkraft/windkraft-geschichte/>





VAWT - TURBINAS COMERCIAIS

FUCRS



| Nome | Volume | Indicador de desempenho | Preço médio | Velocidade média | Velocidade mínima | Velocidade máxima | Velocidade de corte | Velocidade de parada | Velocidade de operação | Velocidade de manutenção | Velocidade de transporte | Velocidade de instalação | Velocidade de desinstalação | Velocidade de operação | Velocidade de manutenção | Velocidade de transporte | Velocidade de instalação | Velocidade de desinstalação |
|-----------------------|--------|-------------------------|-------------|------------------|-------------------|-------------------|---------------------|----------------------|------------------------|--------------------------|--------------------------|--------------------------|-----------------------------|------------------------|--------------------------|--------------------------|--------------------------|-----------------------------|
| Aerocatcher | 1000 | 1000 | 1000 | 1000 | 1000 | 1000 | 1000 | 1000 | 1000 | 1000 | 1000 | 1000 | 1000 | 1000 | 1000 | 1000 | 1000 | 1000 |
| Urban Green Energy | 1000 | 1000 | 1000 | 1000 | 1000 | 1000 | 1000 | 1000 | 1000 | 1000 | 1000 | 1000 | 1000 | 1000 | 1000 | 1000 | 1000 | 1000 |
| CleanField Energy | 1000 | 1000 | 1000 | 1000 | 1000 | 1000 | 1000 | 1000 | 1000 | 1000 | 1000 | 1000 | 1000 | 1000 | 1000 | 1000 | 1000 | 1000 |
| Flexi Energy | 1000 | 1000 | 1000 | 1000 | 1000 | 1000 | 1000 | 1000 | 1000 | 1000 | 1000 | 1000 | 1000 | 1000 | 1000 | 1000 | 1000 | 1000 |
| Goodridge Engineering | 1000 | 1000 | 1000 | 1000 | 1000 | 1000 | 1000 | 1000 | 1000 | 1000 | 1000 | 1000 | 1000 | 1000 | 1000 | 1000 | 1000 | 1000 |
| Windspire | 1000 | 1000 | 1000 | 1000 | 1000 | 1000 | 1000 | 1000 | 1000 | 1000 | 1000 | 1000 | 1000 | 1000 | 1000 | 1000 | 1000 | 1000 |
| HelixWind | 1000 | 1000 | 1000 | 1000 | 1000 | 1000 | 1000 | 1000 | 1000 | 1000 | 1000 | 1000 | 1000 | 1000 | 1000 | 1000 | 1000 | 1000 |
| HAWWT | 1000 | 1000 | 1000 | 1000 | 1000 | 1000 | 1000 | 1000 | 1000 | 1000 | 1000 | 1000 | 1000 | 1000 | 1000 | 1000 | 1000 | 1000 |
| Quiet revolution | 1000 | 1000 | 1000 | 1000 | 1000 | 1000 | 1000 | 1000 | 1000 | 1000 | 1000 | 1000 | 1000 | 1000 | 1000 | 1000 | 1000 | 1000 |
| Vertical wind energy | 1000 | 1000 | 1000 | 1000 | 1000 | 1000 | 1000 | 1000 | 1000 | 1000 | 1000 | 1000 | 1000 | 1000 | 1000 | 1000 | 1000 | 1000 |
| WindSile | 1000 | 1000 | 1000 | 1000 | 1000 | 1000 | 1000 | 1000 | 1000 | 1000 | 1000 | 1000 | 1000 | 1000 | 1000 | 1000 | 1000 | 1000 |
| Repastec | 1000 | 1000 | 1000 | 1000 | 1000 | 1000 | 1000 | 1000 | 1000 | 1000 | 1000 | 1000 | 1000 | 1000 | 1000 | 1000 | 1000 | 1000 |
| WindSmile | 1000 | 1000 | 1000 | 1000 | 1000 | 1000 | 1000 | 1000 | 1000 | 1000 | 1000 | 1000 | 1000 | 1000 | 1000 | 1000 | 1000 | 1000 |
| WePower | 1000 | 1000 | 1000 | 1000 | 1000 | 1000 | 1000 | 1000 | 1000 | 1000 | 1000 | 1000 | 1000 | 1000 | 1000 | 1000 | 1000 | 1000 |

Desenvolvido pelo Laboratório de Turbinas e Energia Eólica da UFRGS, em parceria com o Centro de Referência em Energia Eólica da UFRGS, sob a orientação do Prof. Dr. Roberto de Souza.



FUCRS

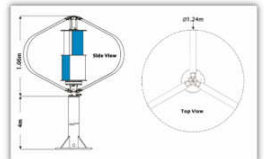
| Nome | Volume | Indicador de desempenho | Preço médio | Velocidade média | Velocidade mínima | Velocidade máxima | Velocidade de corte | Velocidade de parada | Velocidade de operação | Velocidade de manutenção | Velocidade de transporte | Velocidade de instalação | Velocidade de desinstalação | Velocidade de operação | Velocidade de manutenção | Velocidade de transporte | Velocidade de instalação | Velocidade de desinstalação |
|-----------------------|--------|-------------------------|-------------|------------------|-------------------|-------------------|---------------------|----------------------|------------------------|--------------------------|--------------------------|--------------------------|-----------------------------|------------------------|--------------------------|--------------------------|--------------------------|-----------------------------|
| Aerocatcher | 1000 | 1000 | 1000 | 1000 | 1000 | 1000 | 1000 | 1000 | 1000 | 1000 | 1000 | 1000 | 1000 | 1000 | 1000 | 1000 | 1000 | 1000 |
| Urban Green Energy | 1000 | 1000 | 1000 | 1000 | 1000 | 1000 | 1000 | 1000 | 1000 | 1000 | 1000 | 1000 | 1000 | 1000 | 1000 | 1000 | 1000 | 1000 |
| CleanField Energy | 1000 | 1000 | 1000 | 1000 | 1000 | 1000 | 1000 | 1000 | 1000 | 1000 | 1000 | 1000 | 1000 | 1000 | 1000 | 1000 | 1000 | 1000 |
| Flexi Energy | 1000 | 1000 | 1000 | 1000 | 1000 | 1000 | 1000 | 1000 | 1000 | 1000 | 1000 | 1000 | 1000 | 1000 | 1000 | 1000 | 1000 | 1000 |
| Goodridge Engineering | 1000 | 1000 | 1000 | 1000 | 1000 | 1000 | 1000 | 1000 | 1000 | 1000 | 1000 | 1000 | 1000 | 1000 | 1000 | 1000 | 1000 | 1000 |
| Windspire | 1000 | 1000 | 1000 | 1000 | 1000 | 1000 | 1000 | 1000 | 1000 | 1000 | 1000 | 1000 | 1000 | 1000 | 1000 | 1000 | 1000 | 1000 |
| HelixWind | 1000 | 1000 | 1000 | 1000 | 1000 | 1000 | 1000 | 1000 | 1000 | 1000 | 1000 | 1000 | 1000 | 1000 | 1000 | 1000 | 1000 | 1000 |
| HAWWT | 1000 | 1000 | 1000 | 1000 | 1000 | 1000 | 1000 | 1000 | 1000 | 1000 | 1000 | 1000 | 1000 | 1000 | 1000 | 1000 | 1000 | 1000 |
| Quiet revolution | 1000 | 1000 | 1000 | 1000 | 1000 | 1000 | 1000 | 1000 | 1000 | 1000 | 1000 | 1000 | 1000 | 1000 | 1000 | 1000 | 1000 | 1000 |
| Vertical wind energy | 1000 | 1000 | 1000 | 1000 | 1000 | 1000 | 1000 | 1000 | 1000 | 1000 | 1000 | 1000 | 1000 | 1000 | 1000 | 1000 | 1000 | 1000 |
| WindSile | 1000 | 1000 | 1000 | 1000 | 1000 | 1000 | 1000 | 1000 | 1000 | 1000 | 1000 | 1000 | 1000 | 1000 | 1000 | 1000 | 1000 | 1000 |
| Repastec | 1000 | 1000 | 1000 | 1000 | 1000 | 1000 | 1000 | 1000 | 1000 | 1000 | 1000 | 1000 | 1000 | 1000 | 1000 | 1000 | 1000 | 1000 |
| WindSmile | 1000 | 1000 | 1000 | 1000 | 1000 | 1000 | 1000 | 1000 | 1000 | 1000 | 1000 | 1000 | 1000 | 1000 | 1000 | 1000 | 1000 | 1000 |
| WePower | 1000 | 1000 | 1000 | 1000 | 1000 | 1000 | 1000 | 1000 | 1000 | 1000 | 1000 | 1000 | 1000 | 1000 | 1000 | 1000 | 1000 | 1000 |

Desenvolvido pelo Laboratório de Turbinas e Energia Eólica da UFRGS, em parceria com o Centro de Referência em Energia Eólica da UFRGS, sob a orientação do Prof. Dr. Roberto de Souza.

Desenvolvido pelo Laboratório de Turbinas e Energia Eólica da UFRGS, em parceria com o Centro de Referência em Energia Eólica da UFRGS, sob a orientação do Prof. Dr. Roberto de Souza.

Vertical Axis Wind Turbine Power System Model number: DS300

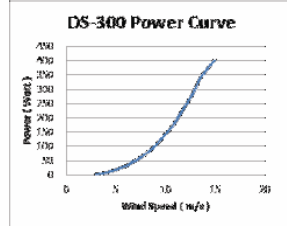
| General Specifications | |
|----------------------------|-------------------|
| Rated Power | 300W |
| Rated Speed | 835 rpm |
| Cut out Wind Speed | 15.5 m/s |
| Rated Wind Speed | 13.5 m/s |
| Cut in Wind Speed | <3 m/s |
| Survival Wind Speed | 60 m/s |
| Dimensions/Weight | |
| Rotor Diameter | 1.24 m |
| Rotor Height | 1.06 m |
| Tower Height | 4.00 m (minimum) |
| Total Height | 5.06 m (minimum) |
| Turbine Weight | 25.5 kg w/o tower |
| Rotor Specifications | |
| External Darrieus | 3 blades |
| Internal Savonius | 2 layers |



Generator Specifications

- Generator Type: AC, 3phase, Synchronous PMG
- Rated Output: 300W
- Braking System: 3 phase short circuit braking system
- Manual: Optional
- Operation Conditions:
 - Ambient Temperature: -10~40°C
 - Ambient Humidity: 95% max.


Power Curve







FUCRS



FUCRS



Modelos VAWT Helicoidais








Turby
(2.5 kW)



Urban Green
(4 kW)

Quiet Revolution
(4/6 kW)

Outras potencias

| Turbinas de Eixo Vertical | | |
|---------------------------|--------|------------|
| Green Energy Solution | 2,5 kW | USA |
| Ropatec HE | 3 kW | Itália |
| Green Energy Solution | 5 kW | USA |
| QuietRevolution qr5 | 6 kW | Inglaterra |
| Ropatec | 6 kW | Itália |
| Green Energy Solution | 10 kW | USA |
| Ropatec Mega Star | 20 kW | Itália |
| Green Energy Solution | 25 kW | USA |
| Green Energy Solution | 50 kW | USA |
| Green Energy Solution | 100 kW | USA |
| Green Energy Solution | 150 kW | USA |





Turby

| Operating range | | |
|------------------------|----------|--|
| Wind speed: | 4-14 m/s | |
| Survivable wind speed: | 55 m/s | |

| Turbine | | |
|-------------------|-----------------------------|--|
| Rotor diameter: | 1.99 m | |
| Rotor height: | 3.0 m | |
| Weight: | 136 kg | |
| Nominal capacity: | 2.5 kW at 14 m/s wind speed | |



| Mast | Standard | Extended |
|-----------------|----------|----------|
| | Height | 6.0 m |
| Plinth distance | 4.0 m | 4.0 m |
| Cross-brace | 1.5 m | 2.3 m |
| Approx. weight: | 240 kg | 300 kg |




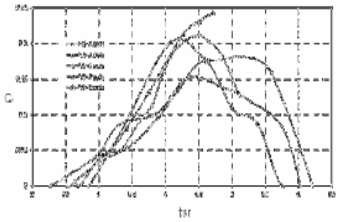
Turby

| Converter | |
|------------------|--------------|
| Output type: | single phase |
| Nominal capacity | 2.5 kW |
| Peak capacity: | 3.0 kW |

www.turby.nl





Turby

Turbina helicoidal Turby® usando perfil NACA 0012.


G.J.W. van Bussel, et al., "TURBY®: concept and realisation of a small VAWT for the built environment", pp. presented at the EAW/EWEA Special Topic conference "The Science of making Torque from Wind", 19-21 April 2004, Delft, The Netherlands ISBN 90-764768-10-9. pp 509-516.




Quiet Revolution




www.quietrevolution.com

Quiet Revolution

Dimensions: 5m high x 3.1m diameter

Construction: Carbon and glass composite blades and spokes

Generator: Direct drive, permanent magnet, 6kW peak

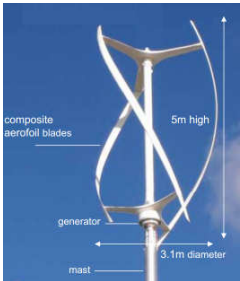

Control: Peak power tracking and remote monitoring

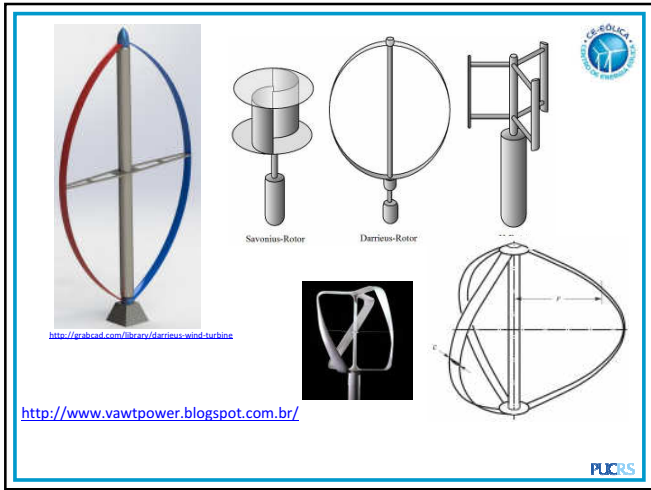
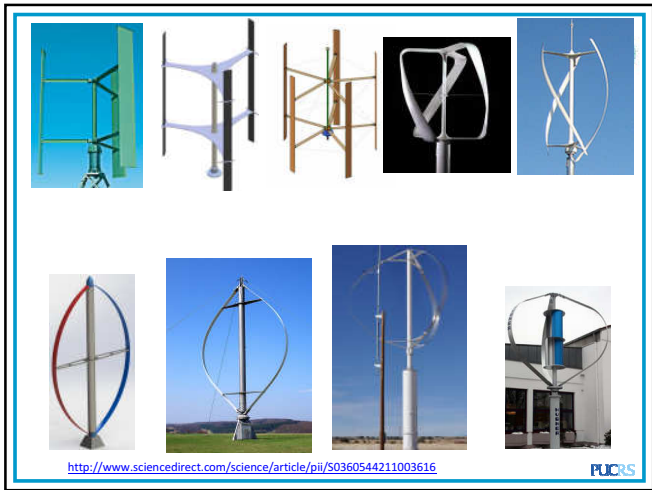
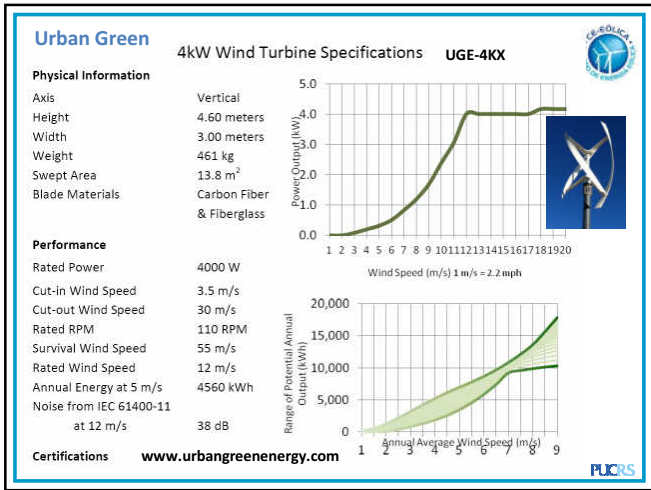
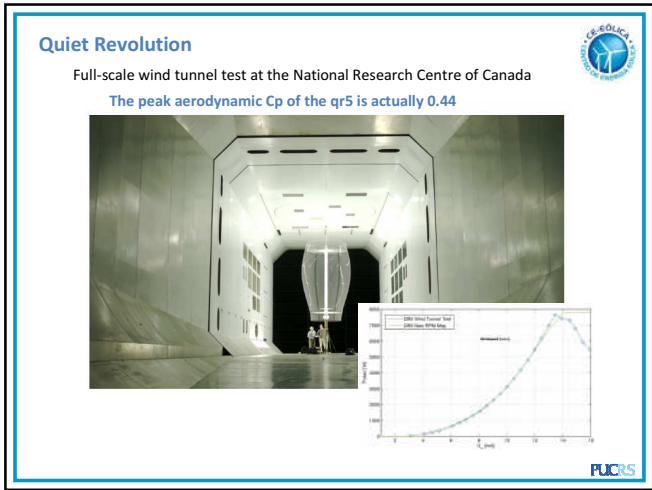
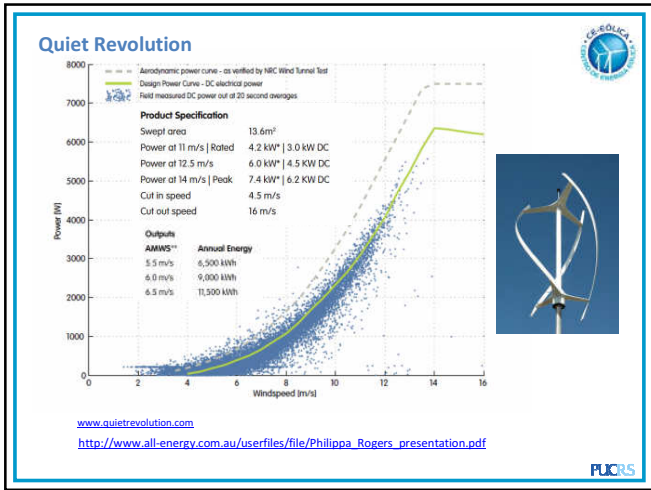
Operation: 4.5m/s to 16m/s

Masts: 3m, 6m, 9m, 15m

Energy: 4,000-11,000kWh/yr (wind speed dependent)

www.quietrevolution.com










URBAN WIND TURBINES
Technology review

A companion text to the Catalogue of European Urban Wind Turbine Manufacturers






In order to compile the **Catalogue of European Urban Wind Turbine Manufacturers (July 2005)**, over 45 wind turbine manufacturers from 15 European countries were contacted to provide information on their products. Of those, a small percentage (< 12 %) did not respond. A further 17 % of products that were researched were eventually not included in the catalogue because they did not correspond with the definition of "urban" wind turbines or because the product was still at the prototype stage and still several years away from being available on the market.

In total, **32 manufacturers** representing **57 wind turbine models** have been inventoried. Each of the turbines is detailed on a specific technical data sheet and is presented in the Catalogue of European Urban Wind Turbine Manufacturers. Of the inventoried turbines 65% were horizontal axis wind turbines (HAWT) and 35% were vertical axis wind turbines (VAWT).

32 Fabricantes
57 Modelos de SWTG
65% (HAWT)
35% (VAWT)

According to Paul Gipe: "Mounting wind turbines, of any kind, on a building is a very bad idea. I have yet to see an application where this has worked or will likely work. In short, rooftop turbines will not do what their promoters claim and often will cause their owners no end of grief."





Jorge A. Villar Alé
CE-EÓLICA
villar@pucrs.br




Workshop - Small Wind Turbines

AERODINAMICA DE TURBINAS EÓLICAS DE EIXO VERTICAL

SMALL WIND TURBINES WORKSHOP

07 NOVEMBRO, 2012
PUCRS | FACIN AUDITÓRIO 516
PORTO ALEGRE/RS | BRASIL

PUCRS

Rankine (1820-1872)
Disco Atuador

Robert E. Froude (1848-1924)
Momentum Theory

Glauert (1892-1934)
Elemento de pá

Prandtl (1875-1953)
Camada limite

Albert Betz (1885-1968)
Limite de potencia

Joukowski (1857-1941)
Nicolai Egorovich Joukowski

Lanchester (1868-1946)
Friderisk W. Lanchester

PUCRS

Toeria de Elemento de Pá – Blade Element Theory

H. GLAUERT
The elements of aerofoil and airplane theory
1926

Glauert (1892-1934)

H. Glauerts, "Windmills and Fans", Aerodynamic Theory (W.F. Durand, Ed.), Springer, Berlin, Germany, 1935

PUCRS

Short Communication

The Lanchester–Betz–Joukowsky Limit

Gijs A.M. van Kuik*, Delft University Wind Energy Research Institute, Faculty of Aerospace Engineering, Kluyverweg 1, 2629 HS Delft, The Netherlands

Key words:
Betz limit;
actuator disc;
efficiency;
power coefficient;
wind turbine

The maximum efficiency of an ideal wind turbine rotor is well known as the 'Betz limit', named after the German scientist that formulated this maximum in 1920. In 1976, Bergey showed that the British scientist Lanchester derived the same maximum already in 1915. Betz and Lanchester were representatives of leading aerodynamic research schools in the first decades of the previous century. A study of early Russian publications on rotor aerodynamics now shows that the Russian aerodynamic school also produced the same result; its leader Joukowsky derived the maximum efficiency for an ideal wind turbine in 1920, the same year as Betz did. Consequently, in order to honour all, this ideal efficiency should be named the 'Lanchester-Betz-Joukowsky limit' in scientific writing. The well-established and convenient name Betz limit is to be considered an easy abbreviation of this full name. Copyright © 2007 John Wiley & Sons, Ltd.

Received 2 October 2006; Revised 15 December 2006; Accepted 17 December 2006

Wind Energ. 2007; 10: 289–291

PUCRS

ROTOR DISC

LOWER VELOCITY

ENERGY EXTRACTING

Quando a turbina absorve energia do vento ocorre uma diminuição da velocidade de corrente livre.

Linhas de corrente

PUCRS

ESTUDO DE MODELOS AERODINAMICOS DE TEEV MULTIPLE TUBOS DE CORRENTE (MTC – Modelo de Strickland)

1. Análise Aerodinâmica – Modelo MTC
2. Disco Atuador e Eq. da Quantidade de movimento
3. Teoria de elemento de pá
4. Força axial, força normal força tangencial
5. Velocidade Relativa e Ângulo de Ataque.
6. Coeficiente de Sustentação e Coeficiente de Arrasto
7. Modelo de Pontin para sustentação e arrasto
8. Torque, potência
9. Coeficiente de potência
10. Resultados do modelo

PUCRS

Múltiplos Tubos de Corrente (MCT)



O modelo de Múltiplos Tubos de Corrente (MCT) foi desenvolvido por Strickland (1975).

Considera-se que uma série de tubos de corrente atravessam o rotor.

São determinadas as forças aerodinâmicas igualando a equação da quantidade de movimento com as equações do elemento de pá.

Quando a turbina absorve energia do vento ocorre uma diminuição da velocidade de corrente livre.

O ar escoa no entorno do elemento de pá afetando a velocidade relativa que atinge o elemento de pá (aerofólio) com um determinado ângulo de ataque gerando assim as forças aerodinâmicas que produzem torque no eixo e potência da máquina.

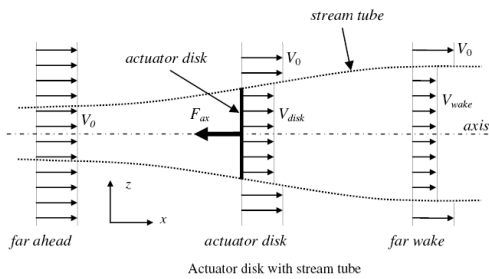
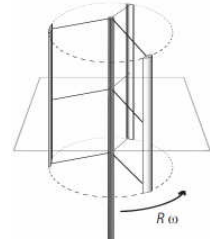
The Darrieus Turbine: A Performance Prediction Model Using Multiple Streamtubes [Report]. - Albuquerque, NM : Sandia Laboratories, 1975. - SAND75-0431.

Razão de velocidade de ponta - TSR $\lambda = \frac{\omega R}{V_\infty}$



Solidez $\sigma = \frac{\text{Area}(pás)}{\text{Area}(barrida)}$

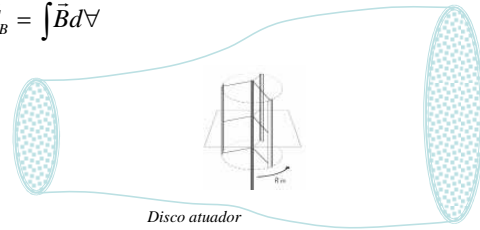
TEEV (a) $\sigma = \frac{Bc}{R}$ (b) $\sigma = \frac{Bc}{2R}$



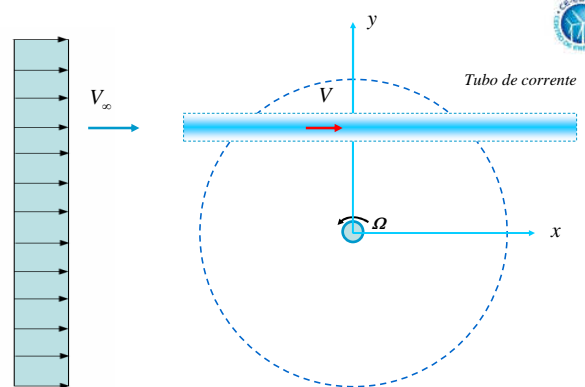
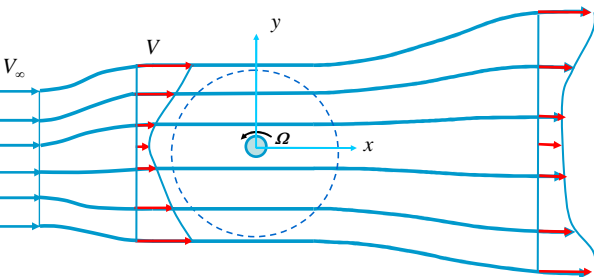
$$\vec{F} = \vec{F}_s + \vec{F}_B = \frac{\partial}{\partial t} \int_C \vec{V} \rho dV + \int_{S_C} \vec{V} \rho \vec{v} d\vec{A}$$

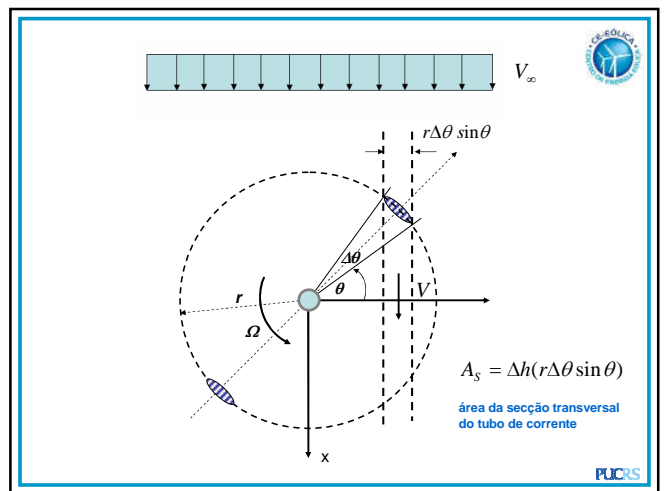
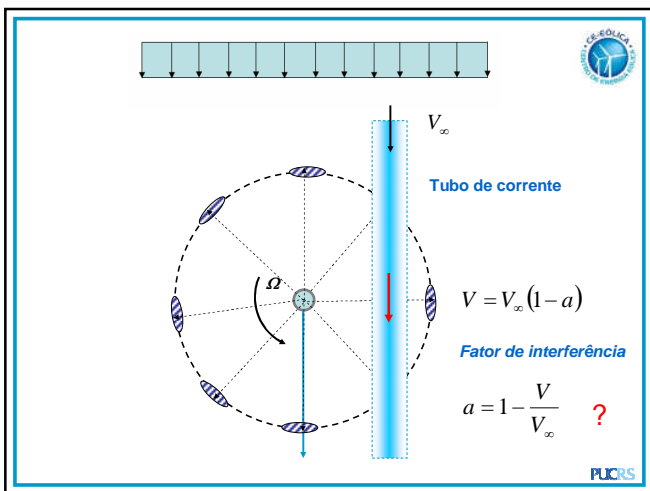
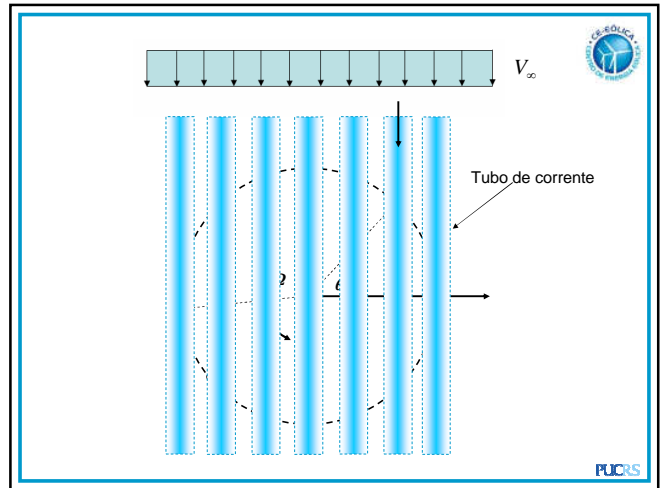
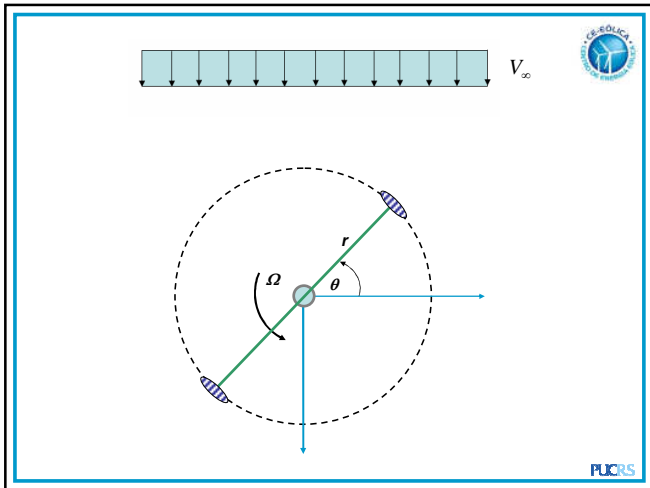
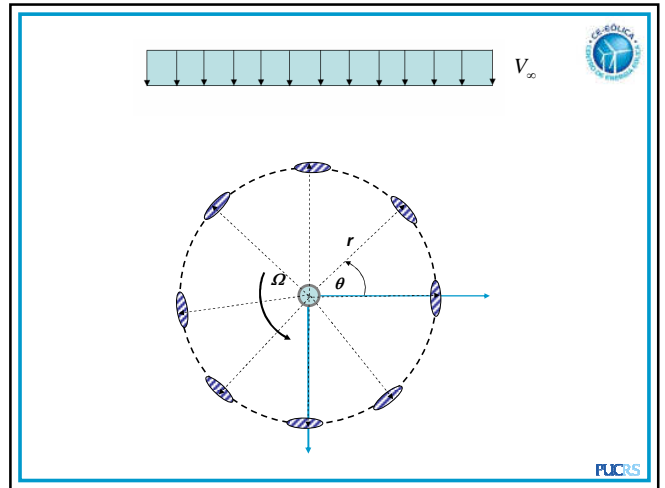
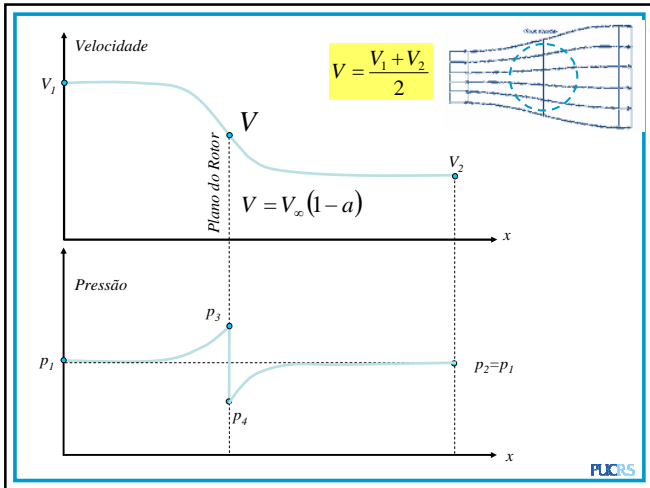
$$\vec{F}_s = \vec{F}_{sp} + \vec{F}_{sr} = \int p dA + \int \tau dA$$

$$\vec{F}_B = \int \vec{B} dV$$



Múltiplos Tubos de corrente





Força média na direção do escoamento exercida pelos elementos de pá que atravessam o tubo de corrente :

\bar{F}_x ?

Solução: Aplicar Eq. da Quantidade de movimento num tubo de corrente.

$$\bar{F} = \bar{F}_s + \bar{F}_B = \frac{\partial}{\partial t} \int_{VC} \bar{V} \rho dV + \int_{SC} \bar{V} \rho \bar{V} d\bar{A}$$

$$F_x = \frac{\partial}{\partial t} \int_{VC} u \rho dV + \int_{SC} u \rho \bar{V} d\bar{A}$$

$$F_x = \int_{A_1} V_1 \rho V_1 dA_1 + \int_{A_2} V_2 \rho V_2 dA_2$$

$$F_x = -V_1 \dot{m} + V_2 \dot{m}$$

$$F_x = (V_2 - V_1) \dot{m}$$

$$F_x = (2V - V_1 - V_1) \dot{m} \quad \leftarrow V_2 = [2V - V_1] \quad \leftarrow V = \frac{V_1 + V_2}{2}$$

$$F_x = (2V - 2V_1) \dot{m}$$

$$F_x = 2(V - V_1) \dot{m} \quad \leftarrow \dot{m} = \rho V A_s$$

$$F_x = 2(V - V_\infty) \rho V A_s \quad V_1 = V_\infty$$

$$\bar{F}_x = 2 \rho A_s V (V_\infty - V)$$

$$\bar{F} = \bar{F}_s + \bar{F}_B = \frac{\partial}{\partial t} \int_{VC} \bar{V} \rho dV + \int_{SC} \bar{V} \rho \bar{V} d\bar{A}$$

Força média na direção do escoamento exercida pelos elementos de pá que atravessam o tubo de corrente :

\bar{F}_x

$$\bar{F}_x = 2 \rho A_s V (V_\infty - V)$$

Depende de V que
Depende do
Fator de interferência

O rotor possui B pás

Cada pá permanece um % de tempo: $\Delta\theta / \pi$ no tubo de corrente

A força axial \bar{F}_x no tubo de corrente pode ser relacionada com a força axial exercida pelo elemento de pá.

$$\bar{F}_x = B F_x \frac{\Delta\theta}{\pi}$$

$U = 0$ Parado $W = V_\infty + U = V_\infty$ Vento

Avançando sentido oposto ao vento $W = V_\infty + U$

Avançando mesmo sentido que o vento $W = V_\infty - U$

VELOCIDADE RELATIVA

Parado $U = 0$

$W = V_\infty + \omega r = 10 \text{ m/s}$ $V_\infty = 10 \text{ m/s}$

Avançando sentido oposto
 $U = 20 \text{ m/s}$
 $W = V_\infty + U = 30 \text{ m/s}$

Avançando mesmo sentido
 $U = 20 \frac{\text{m}}{\text{s}}$
 $W = V_\infty - U = -10 \text{ m/s}$

FUCRS

Undisturbed Freestream U_0

Streamwise flow near turbine U_s

Path of Rotation ω

Upstream Pass $\alpha=0$

Downstream Pass $\alpha=0$

FUCRS

FUCRS

Menor TSR

Aumento do ângulo de ataque

$\theta = 90^\circ$ $\lambda = 1$

$\theta = 90^\circ$ $\lambda = 2$

$\theta = 90^\circ$ $\lambda = 3$

$U \cong V_\infty \lambda$

FUCRS

A força axial exercida pelo elemento de pá.

$F_x = -(F_N \cos \theta + F_T \sin \theta)$

$F_N = \frac{1}{2} \rho W^2 \Delta A_b C_N$

$F_T = \frac{1}{2} \rho W^2 \Delta A_b C_T$

área (plana) do elemento de pá $\Delta A_b = c \Delta h$

$C_N, C_T = f(C_L, C_D, \alpha)$

$\bar{F}_x = B F_x \frac{\Delta \theta}{\pi}$ $W = f(V)$

FUCRS

$\Delta A_b = c \Delta h$

$C_N = C_L \cos \alpha + C_D \sin \alpha$

$C_T = C_L \sin \alpha - C_D \cos \alpha$

$\alpha = \tan^{-1} \left\{ \frac{V \sin \theta}{\Omega r + V \cos \theta} \right\}$?

$W = \frac{V \sin \theta}{\sin \alpha}$?

FUCRS

área da seção transversal do tubo de corrente
 $A_s = \Delta h (r \Delta \theta \sin \theta)$

área (plana) do elemento de pá
 $\Delta A_D = c \Delta h$

$\bar{F}_x = 2\rho A_s V(V_\infty - V)$

$F_x = -(F_N \cos \theta + F_T \cos \theta)$

$\bar{F}_x = NF_x \frac{\Delta \theta}{\pi}$

FUCRS

Tubo de corrente

$V = V_\infty (1 - a)$

Fator de interferência

$a = 1 - \frac{V}{V_\infty} \quad ?$

FUCRS

$\bar{F}_x = 2\rho A_s V(V_\infty - V) \quad \bar{F}_x = NF_x \frac{\Delta \theta}{\pi}$

$NF_x \frac{\Delta \theta}{\pi} = 2\rho A_s V(V_\infty - V)$

$\frac{NF_x \Delta \theta}{2\rho A_s \pi} = V(V_\infty - V)$

$\frac{NF_x \Delta \theta}{2\rho A_s \pi} = V \frac{V_\infty}{V_\infty} (V_\infty - V)$

$\frac{NF_x \Delta \theta}{2\rho A_s \pi} = V V_\infty \left(1 - \frac{V}{V_\infty}\right)$

$\frac{NF_x \Delta \theta}{2\rho A_s \pi} = V V_\infty \frac{V_\infty}{V_\infty} \left(1 - \frac{V}{V_\infty}\right)$

$\frac{NF_x \Delta \theta}{2\rho A_s \pi} = V_\infty^2 \frac{V}{V_\infty} \left(1 - \frac{V}{V_\infty}\right)$

$\frac{NF_x \Delta \theta}{2\rho A_s \pi} \frac{1}{V_\infty^2} = \frac{V}{V_\infty} \left(1 - \frac{V}{V_\infty}\right)$

$a = 1 - \frac{V}{V_\infty} \quad 1 - a = \frac{V}{V_\infty}$

$\frac{NF_x \Delta \theta}{2\rho A_s \pi} \frac{1}{V_\infty^2} = \frac{V}{V_\infty} \left(1 - \frac{V}{V_\infty}\right)$

$\frac{NF_x \Delta \theta}{2\rho A_s \pi} \frac{1}{V_\infty^2} = (1 - a)a$

$F_x^* = \frac{NF_x \Delta \theta}{2\rho A_s \pi} \frac{1}{V_\infty^2}$

$F_x^* = (1 - a)a$

$a = F_x^* + a^2 \quad ?$

FUCRS

$\bar{F}_x = 2\rho A_s V(V_\infty - V) \quad A_s = \Delta h (r \Delta \theta \sin \theta)$

$\bar{F}_x = NF_x \frac{\Delta \theta}{\pi}$

$\frac{NF_x \Delta \theta}{2\rho A_s \pi} = V(V_\infty - V)$

$\frac{NF_x \Delta \theta}{2\rho A_s \pi} = V \frac{V_\infty}{V_\infty} (V_\infty - V)$

$\frac{NF_x \Delta \theta}{2\rho A_s \pi} = V V_\infty \left(1 - \frac{V}{V_\infty}\right)$

$F_x^* = \frac{NF_x \Delta \theta}{2\rho A_s \pi} \frac{1}{V_\infty^2}$

Fator de interferência $a = 1 - \frac{V}{V_\infty}$

$a = F_x^* + a^2$

Eq. básica para solução iterativa da Eq. da Quantidade de Movimento dos tubos de corrente

FUCRS

Velocidade Relativa e Ângulo de Ataque

$\vec{W} = W_n + W_t$

$W_t = \Omega r + V \cos \theta$

$W_n = -V \sin \theta$

$W = \sqrt{(\Omega r + V \cos \theta)^2 + (-V \sin \theta)^2}$

$\alpha_g = \tan^{-1} \left\{ \frac{V \sin \theta}{\Omega r + V \cos \theta} \right\}$

Também

$W \sin \alpha = V \sin \theta$

$W = \frac{V \sin \theta}{\sin \alpha}$

FUCRS

```

    graph TD
      Start["i=0, Δθ, θ=θ₀"] --> A["a=0"]
      A --> V["V f(a)"]
      V --> W["W, α f(V, θ)"]
      W --> Re["Re f(W)"]
      Re --> CL["C_L, C_D f(α, Re)"]
      CL --> Cp["C_M, C_T f(C_L, C_D)"]
      Cp --> Anovo["a_novo f(F*)"]
      Anovo --> Decide{"a_novo = a"}
      Decide -- não --> A
      Decide -- sim --> End["θ = θ₀ + iΔθ"]
      End --> Start
  
```

FUCRS

$F_T(\theta) = \frac{1}{2} \rho C_T \Delta A_b W^2 \quad \Delta A_b = c \Delta h$

O torque do elemento de pá que passa pelo tubo de corrente é dada por

$$T_{el}(\theta) = F_T(\theta) r \quad T_{el}(\theta) = \left(\frac{1}{2} \rho C_T c \Delta h W^2 \right) r$$

O torque total de uma pá se obtém pelo somatório do torque de cada elemento desta pá.

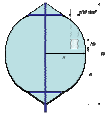
Considerando que a pá foi segmentada em N_{el} elementos

$$T = \sum_1^{N_{el}} T_{el}(\theta)$$

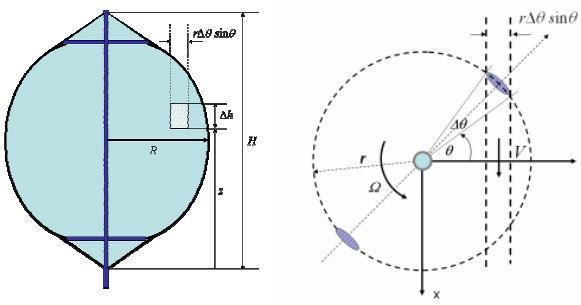
O torque médio produzido pelo rotor com B pás é determinado fazendo a media temporal do torque total das B pás que formam parte do rotor.

$$\bar{T}_B = \frac{B}{N_\theta} \sum_1^{N_\theta} T = \frac{B}{N_\theta} \sum_1^{N_\theta} \sum_1^{N_{el}} T_{el}(\theta) \quad C_p = \frac{\bar{T}_B \Omega}{\frac{1}{2} \rho A_i V_\infty^3}$$

N_θ Número de segmentos angulares numa revolução.



Geometria e tubo de corrente numa turbina de eixo vertical

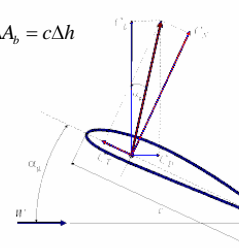
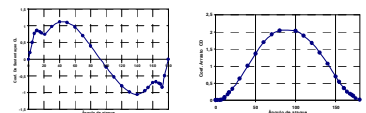


$\Delta A_b = c \Delta h$

$$C_N = C_L \cos \alpha + C_D \sin \alpha$$

$$C_T = C_L \sin \alpha - C_D \cos \alpha$$

$$\alpha = \tan^{-1} \left\{ \frac{V \sin \theta}{\Omega r + V \cos \theta} \right\} ?$$

$$W = \frac{V \sin \theta}{\sin \alpha} ?$$



Sustentação e Arrasto Aerodinâmico

MODELO DE PONTIN

A first order Mathematical Model of the Lift/ Drag Characteristics of Aerofoil Sections
G.W Pontin – Wind Engineering Vol.5 N°3 (1981)

Equacionamento da Sustentação e Arrasto Aerodinâmico

MODELO DE PONTIN
A first order Mathematical Model of the Lift/ Drag Characteristics of Aerofoil Sections
G.W Pontin – Wind Engineering Vol.5 N°3 (1981)

Sustentação

(1) Para $\alpha < \alpha_{max}$

$$C_L = A R_1^4 R_3^4 \alpha^{0.5} + B \alpha^0 + C$$

(2) Para $\alpha_{max} < \alpha < 30^\circ$

$$C_L = \frac{C_D}{\tan \alpha} + R_2 (30^\circ - \alpha)$$

(3) Para $30^\circ < \alpha < 90^\circ$

$$C_L = \frac{C_D}{\tan \alpha}$$

Arrasto

(1) Para $\alpha < \alpha_{max}$

$$C_D = R_1 R_3 [D + E(C_L - F)^2]$$

(2) Para $\alpha > \alpha_{max}$

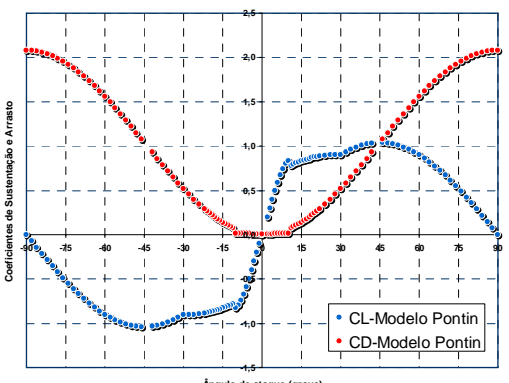
$$C_D = 1,04 [1 - \cos(2\alpha)]$$

Onde:
A: Fator dependente do estol
B: Inclinação da curva de sustentação (slope)
C: Sustentação: C_L para $\alpha=0^\circ$
D: Arrasto mínimo $C_D(min)$
E: Controle da variação de C_D em função C_L
F: Sustentação: C_L para $C_D(min)$
R1: Correção de Re antes do estol
R2: Correção de Re após estol
R3: Correção por rugosidade

A,B,C,D,E,F, R1,R2,R3: parâmetros do aerofólio

Equacionamento da Sustentação e Arrasto Aerodinâmico

MODELO DE PONTIN



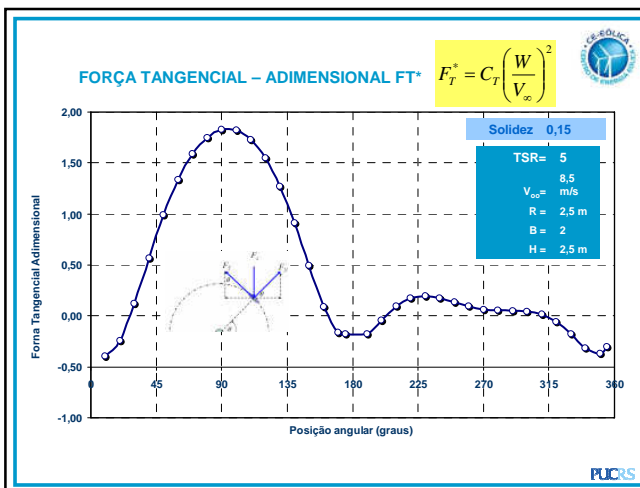
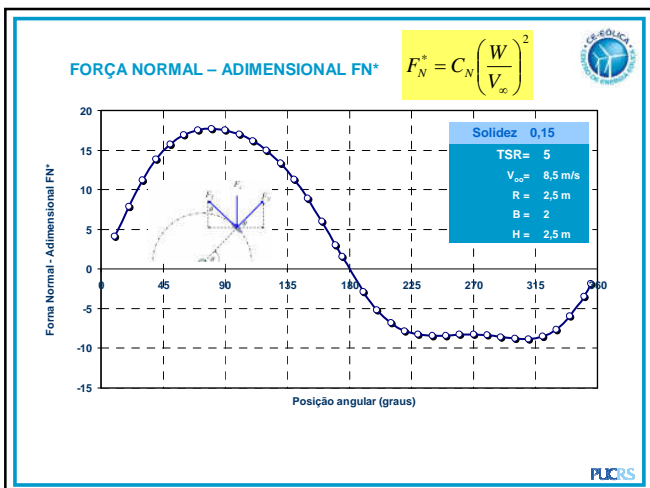
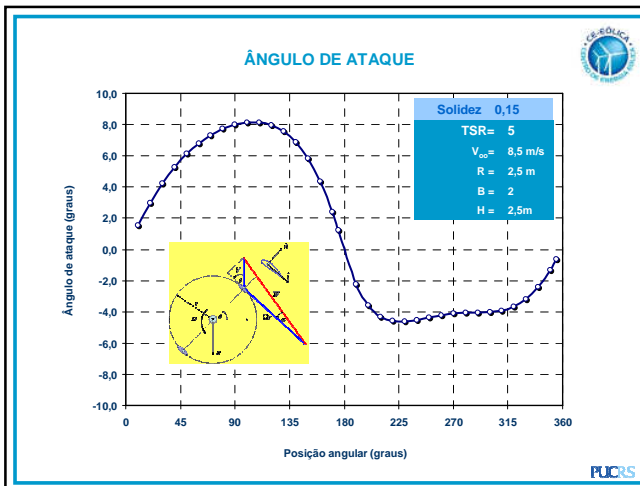
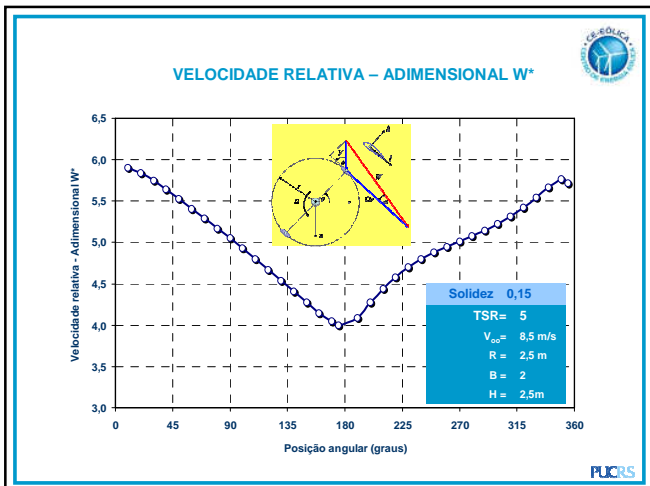
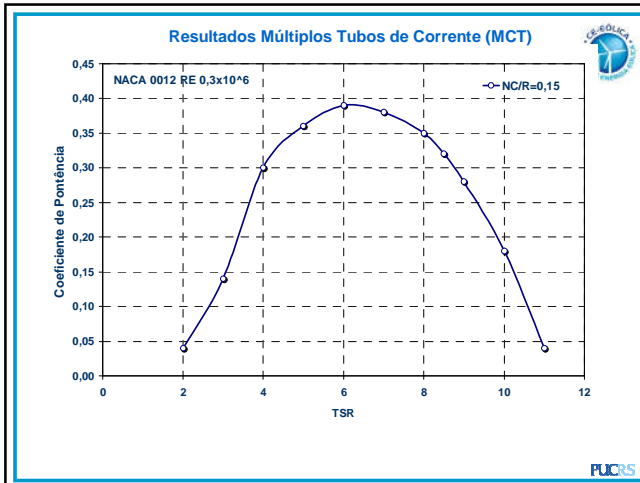


Workshop - Small Wind Turbines



Múltiplos Tubos de Corrente (MCT)

RESULTADOS DO MODELO





Workshop - Small Wind Turbines



PARAMETROS E SEUS EFEITOS

Solidez

$$\sigma = \frac{Bc}{R}$$

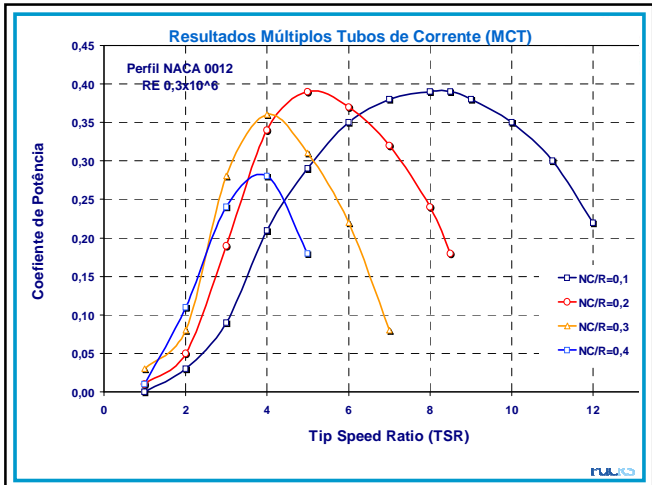
Tip Speed Ratio

$$\lambda = \frac{\omega R}{V_{\infty}}$$

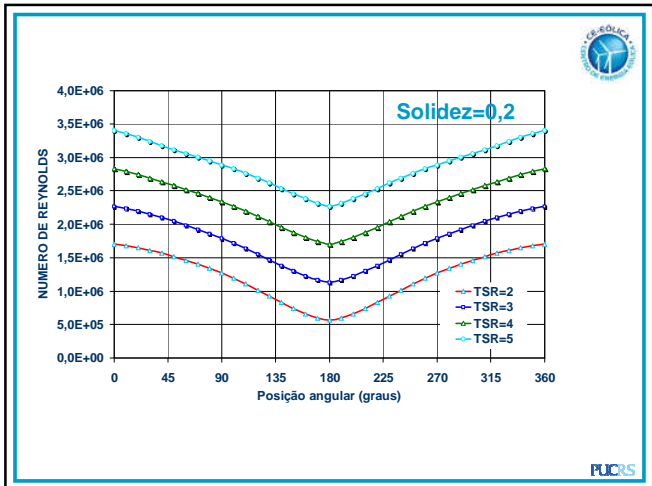
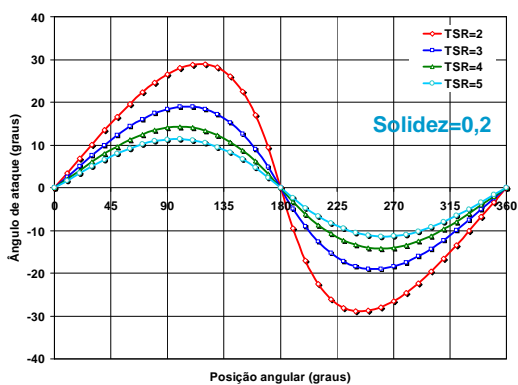
Numero de Reynolds

$$Re = \frac{Wc}{\nu}$$

Tipo de Aerofólio

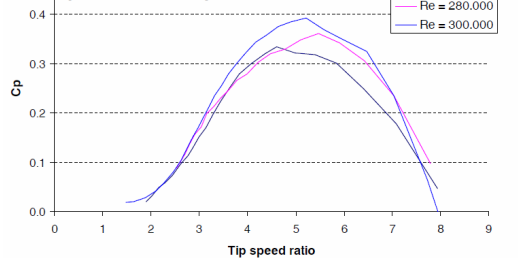


INFLUENCIA DO TSR NO ÂNGULO DE ATAQUE

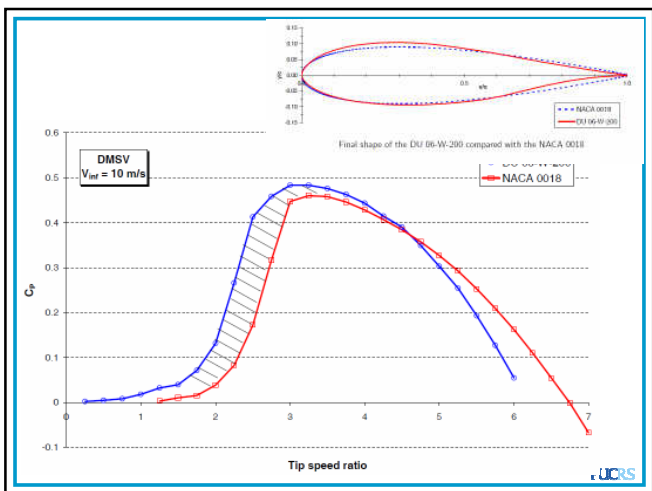


[Sheldahl et al., 1980]

Re e Cp



Reynolds number influence on the Sandia 5 meter turbine,





Jorge A. Villar Alé
CE-EÓLICA
villar@puccrs.br

